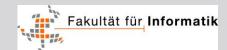


Kognitive Systeme

3D-Bildverarbeitung

Montag, 03. Juli 2017

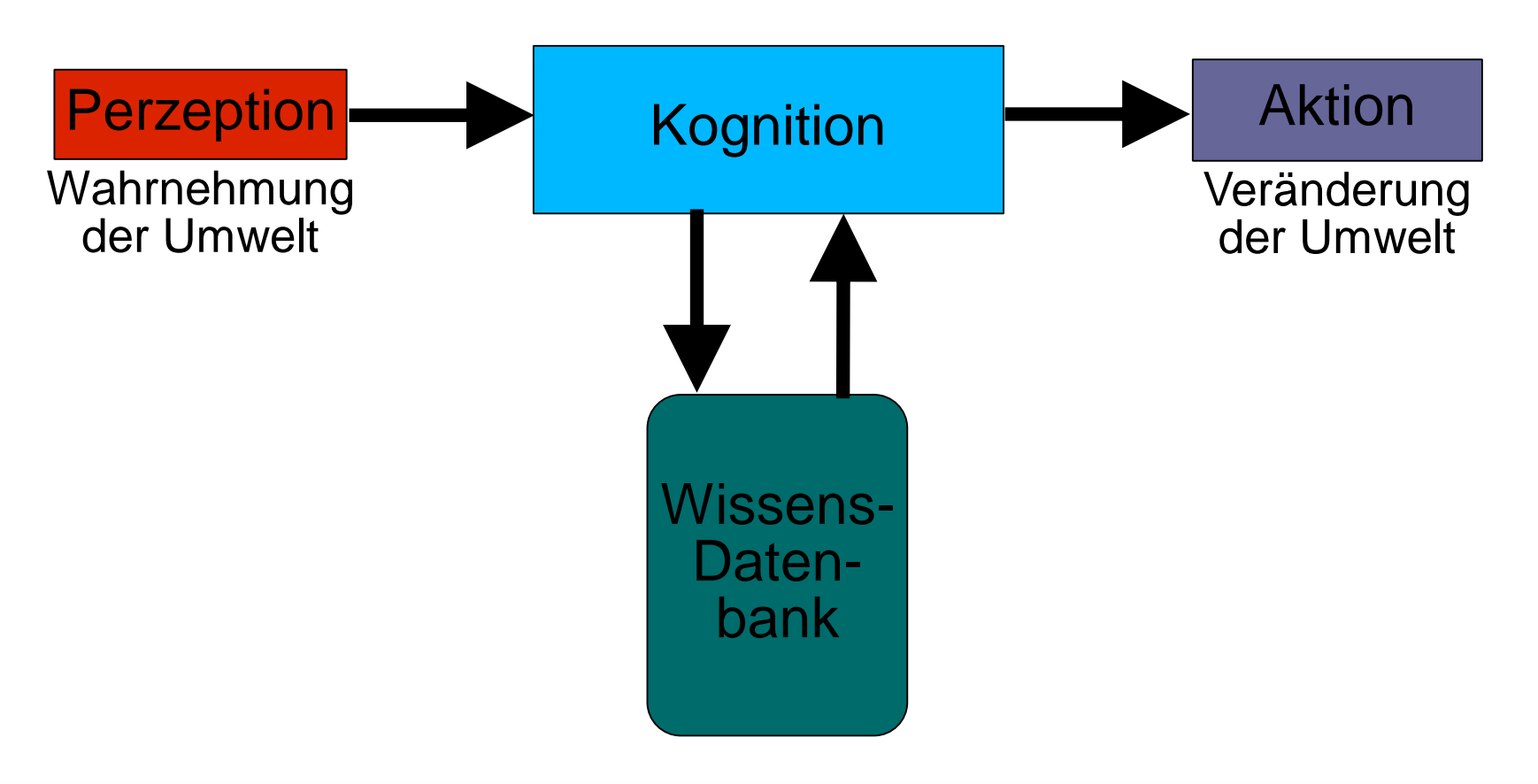


Zunächst: kurze Wiederholung



Elemente eines Kognitiven Systems

Ingenieursmäßiger Ansatz:



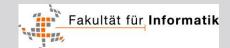


Geometrische 3D-Transformationen

Geometrische 3D-Transformationen



- Grundlage von Sensorik und Aktorik:
 Geometrische Beschreibung von Objekten und ihre Relationen (Ort, Orientierung)
 - Ort des messenden Systems im Raum bzw. in einer Szene
 - Ort mehrerer Sensoren zueinander
 - Ort sensorisch erfasster Objekte relativ zum Sensor
 - Ort von Aktoren (Greifer, Werkzeuge etc.) und Relation zu den manipulierenden Objekte
 - Gelenkwinkel des Roboters (innere Zustände)
- Anforderungen an 3D.Transformationen:
 - Geschlossene algebraische Ausdrücke
 - Invertierbarkeit der Transformationen zwischen Konfigurationsräumen
 - Interpolation



Geometrische 3D-Transformationen

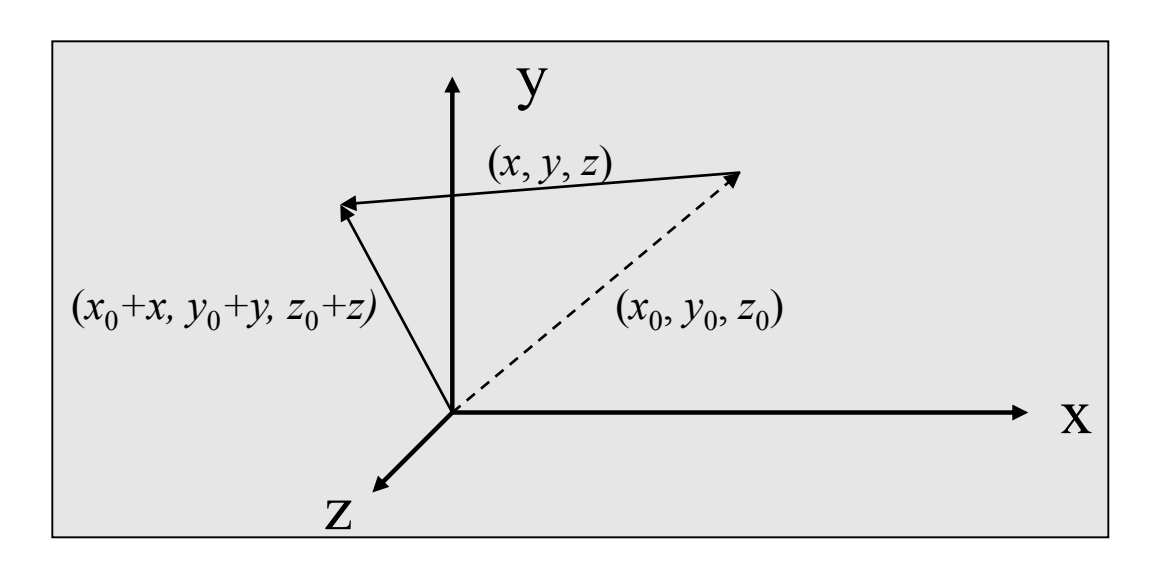


- Zwei Darstellungsmethoden sind in der Bildverarbeitung und in der Robotik für 3D – Transformationen üblich:
 - Homogene Transformationsmatrizen und homogene Vektoren (für Translationen und Rotationen)
 - Quaternionendarstellung (nur für Rotationen)

3D-Transformationen: Translation



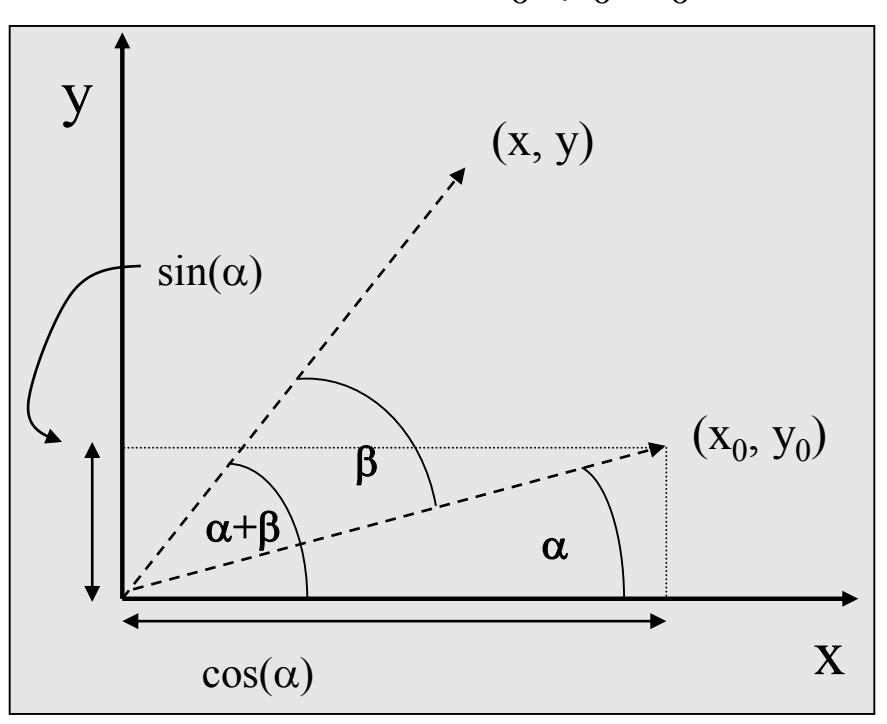
Translation eines 3D-Vektors:



$$\begin{bmatrix} x_0 \\ y_0 \\ z_0 \end{bmatrix} + \begin{bmatrix} x \\ y \\ z \end{bmatrix} = \begin{bmatrix} x_0 + x \\ y_0 + y \\ z_0 + z \end{bmatrix}$$



- o.B.d.A. auf Einheitsvektor zurückführbar (Basistransformation)
- Konvention: Rechtshändiges Koordinatensystem
- Rotation von (x_0, y_0, z_0) um Winkel β mit Ergebnis (x, y, z_0) :



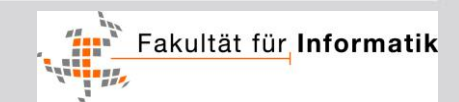
Aus Additionstheorem:

$$x = \cos(\alpha + \beta) = \cos\alpha\cos\beta - \sin\alpha\sin\beta$$
$$y = \sin(\alpha + \beta) = \sin\beta\cos\alpha + \cos\beta\sin\alpha$$

oder (mit $(x_0,y_0)=(\cos\alpha,\sin\alpha)$):

$$\begin{pmatrix} x \\ y \end{pmatrix} = \begin{pmatrix} \cos \beta & -\sin \beta \\ \sin \beta & \cos \beta \end{pmatrix} \begin{pmatrix} x_0 \\ y_0 \end{pmatrix}$$

 z_0 invariant, da Rotation um z!





3x3 – Rotationsmatrix R:

$$\begin{pmatrix} x \\ y \\ z \end{pmatrix} = R \begin{pmatrix} x_0 \\ y_0 \\ z_0 \end{pmatrix}$$

Rotation um x:

$$R_{x}(\theta) = \begin{pmatrix} 1 & 0 & 0 \\ 0 & \cos \theta & -\sin \theta \\ 0 & \sin \theta & \cos \theta \end{pmatrix}$$

Rotation um y:

$$R_{y}(\theta) = \begin{pmatrix} \cos \theta & 0 & \sin \theta \\ 0 & 1 & 0 \\ -\sin \theta & 0 & \cos \theta \end{pmatrix}$$

Rotation um z:

$$R_z(\theta) = \begin{pmatrix} \cos\theta & -\sin\theta & 0\\ \sin\theta & \cos\theta & 0\\ 0 & 0 & 1 \end{pmatrix}$$



Eigenschaften von Rotationsmatrizen:

- regulär, invertierbar, Determinante = 1
- Jede beliebige Rotation im Raum kann durch drei Variablen beschrieben werden (*Eulers Theorem*)
- Einzelrotationen können als eine Matrix dargestellt werden:

$$R_{r}(\gamma)R_{q}(\beta)R_{p}(\alpha)\begin{pmatrix} x \\ y \\ z \end{pmatrix} \text{ mit } p,q,r \in \{x,y,z\} = R_{pqr}(\alpha,\beta,\gamma)\begin{pmatrix} x \\ y \\ z \end{pmatrix}$$

- Damit reicht die Angabe der Euler-Winkel α,β,γ zur Beschreibung der Rotation
- Das ergibt natürlich nur Sinn, wenn eine Konvention für die Zuordnung p,q,r zu den Achsen x,y,z definiert wurde!



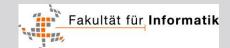


- Zwei grundlegend unterschiedliche Rotationstypen:
 - Rotation um mitgedrehte Achsen
 - Rotation um raumfeste Achsen
- Konventionen zur Erstellung von Rotationsmatrizen:
 - Standard-Beispiel für mitgedrehte Achsen: Zuerst um die raumfeste x-Achse, dann um die mitgedrehte y-Achse, dann um die (zweimal) mitgedrehte z-Achse

$$R_{X'Y'Z'}(\alpha,\beta,\gamma) = R_X(\alpha)R_Y(\beta)R_Z(\gamma)$$

Interpretation für raumfeste Achsen: Zuerst um die raumfeste z-Achse, dann um die raumfeste y-Achse, dann um die raumfeste x-Achse

$$R_{ZYX}(\gamma, \beta, \alpha) = R_X(\alpha)R_Y(\beta)R_Z(\gamma)$$



Homogene Koordinaten



Definition Homogene Koordinaten:

Homogene Koordinaten

$$\mathbf{h} = (h_1, \dots, h_i, h_{i+1})$$

eines Punktes p im R^i mit

$$\mathbf{p} = (p_1, ..., p_i)$$

sind Zahlen, für die gilt:

$$p_k = \frac{h_k}{h_{i+1}} \forall 1 \le k \le i.$$

 h_{i+1} ist ein Skalierungsfaktor; üblicherweise 1.

Homogene 3D-Transformationen



Transformation definiert durch Rotation R und Translation t:

$$\begin{pmatrix} x \\ y \\ z \end{pmatrix} = R \begin{pmatrix} x_0 \\ y_0 \\ z_0 \end{pmatrix} + t = \begin{pmatrix} r_{11} & r_{12} & r_{13} \\ r_{21} & r_{22} & r_{23} \\ r_{31} & r_{32} & r_{33} \end{pmatrix} \begin{pmatrix} x_0 \\ y_0 \\ z_0 \end{pmatrix} + \begin{pmatrix} t_x \\ t_y \\ t_z \end{pmatrix}$$

Darstellung mit Hilfe homogener Koordinaten und einer geschlossenen Transformationsmatrix:

$$\begin{vmatrix} x \\ y \\ z \\ 1 \end{vmatrix} = \begin{vmatrix} R & & t \\ & & t \\ \hline 0 & 0 & 0 & 1 \end{vmatrix} \begin{vmatrix} x_0 \\ y_0 \\ z_0 \\ \hline 0 & 0 & 0 & 1 \end{vmatrix} = \begin{vmatrix} r_{11} & r_{12} & r_{13} & t_x \\ r_{21} & r_{22} & r_{23} & t_y \\ r_{13} & r_{23} & r_{33} & t_z \\ \hline 0 & 0 & 0 & 1 \end{vmatrix} \begin{vmatrix} x_0 \\ y_0 \\ z_0 \\ 1 \end{vmatrix} = A \begin{vmatrix} x_0 \\ y_0 \\ z_0 \\ 1 \end{vmatrix}$$

Quaternionen



- Probleme mit Rotationsmatrizen:
 - Hoch redundant
 - Rechenaufwendig
 - Interpolation schwierig
- Probleme mit Euler-Winkeln
 - Singularitäten

Andere Darstellung von Rotationen?

- ⇒ Quaternionen, Erweiterung der komplexen Zahlen
- schon 1843 von W.R. Hamilton beschrieben
- erst 1995 von Shoemake in der Computergrafik eingeführt



Quaternionen I



- Erweiterung der komplexen Zahlen ins Vierdimensionale
- Definition:

Ein Quaternion q ist eine Zahl

$$\mathbf{q} = (q_w, q_x, q_y, q_z)(1, i, j, k)^{\mathrm{T}} = (q_w, \mathbf{q}_v)(1, i, j, k)^{\mathrm{T}}$$

$$= q_w + iq_x + jq_y + kq_z$$

mit

$$i^{2} = j^{2} = k^{2} = -1$$

$$ij = -ji = k$$

$$jk = -kj = i$$

$$ki = -ik = j.$$

• q_w ist der **Realteil**, $\mathbf{q}_v = (q_x, q_y, q_z)$ der **Imaginärteil** des Quaternions. Man schreibt einfach (q_w, q_x, q_y, q_z) oder (q_w, \mathbf{q}_v) .

Quaternionen II



Rechenregeln für Quaternionen:

Addition:

$$|\mathbf{q} + \mathbf{r} = (q_w, \mathbf{q}_v) + (r_w, \mathbf{r}_v) = (q_w + r_w, \mathbf{q}_v + \mathbf{r}_v)|$$

Multiplikation:

$$\mathbf{qr} = (q_w r_w - \mathbf{q}_v \cdot \mathbf{r}_v, \mathbf{q}_v \times \mathbf{r}_v + q_w \mathbf{r}_v + r_w \mathbf{q}_v)$$

assoziativ, aber *nicht* kommutativ

Konjugierter Quaternion:

$$\overline{\mathbf{q}} = (q_w, -\mathbf{q}_v) \text{ für } \mathbf{q} = (q_w, \mathbf{q}_v)$$

Quaternionen III



Rechenregeln für Quaternionen:

Norm:
$$N(\mathbf{q}) = \sqrt{\mathbf{q}\overline{\mathbf{q}}} = \sqrt{\overline{\mathbf{q}}\mathbf{q}} = \sqrt{q_w^2 + q_x^2 + q_y^2 + q_z^2}$$

Quaternionen \mathbf{q} mit $N(\mathbf{q})=1$ heißen Einheitsquaternionen.

- Multiplikative Identität: I = (1,0)
- Multiplikative Inverse: $q^{-1} = \overline{q}/N^2(q)$

Quaternionen IV



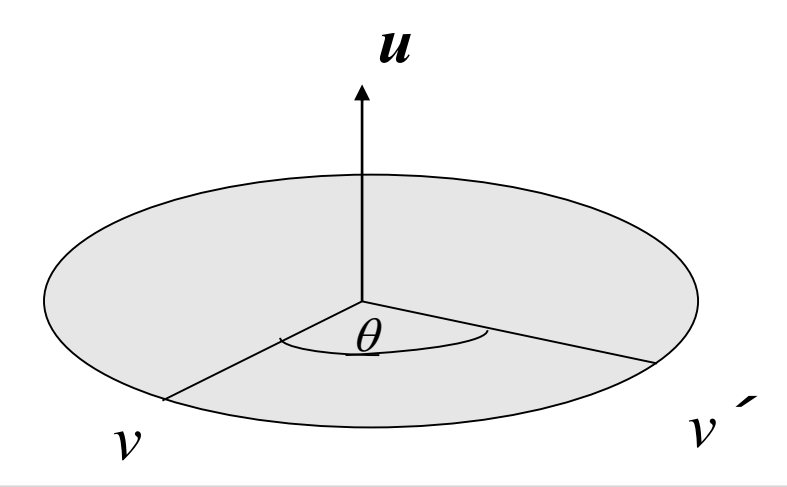
- Rotation mit Quaternionen:
 - Einheitsquaternion q ist definiert durch Rotationsachse u mit |u|=1 und Winkel θ :

$$\mathbf{q} = (\cos\frac{\theta}{2}, \mathbf{u}\sin\frac{\theta}{2})$$

Quaternion a ist definiert durch zu rotierenden Vektor v:

$$\mathbf{a} = (0, \mathbf{v})$$

Das Produkt $qa\overline{q}$ rotiert v um die Achse u mit dem Winkel θ



Quaternionen V





Interpolation zwischen zwei Quaternionen:

- Sphärische Lineare Interpolation (SLERP)
- Berechnet für $t \in [0,1]$ die kürzeste Verbindung auf der vierdimensionalen Einheitssphäre zwischen q und r
- Analytisch: $SLERP(\mathbf{q},\mathbf{r},t) = \mathbf{q}(\mathbf{r}\mathbf{q}^{-1})^t$
- Numerisch: $SLERP(\mathbf{q}, \mathbf{r}, t) = \mathbf{q} \frac{\sin((1-t)\theta)}{\sin \theta} + \mathbf{r} \frac{\sin(t\theta)}{\sin \theta}$

mit Winkel θ zwischen \mathbf{r} und \mathbf{q}

Quaternionen VI



■ Quaternion ⇒ Rotationsmatrix:

$$\mathbf{q} = (q_w, q_x, q_y, q_z) \Rightarrow \mathbf{M}_q = \begin{pmatrix} 1 - 2(q_y^2 + q_z^2) & 2(q_x q_y - q_w q_z) & 2(q_x q_z + q_w q_y) \\ 2(q_x q_y + q_w q_z) & 1 - 2(q_x^2 + q_z^2) & 2(q_y q_z - q_w q_x) \\ 2(q_x q_z - q_w q_y) & 2(q_y q_z + q_w q_x) & 1 - 2(q_x^2 + q_y^2) \end{pmatrix}$$

■ Rotationsmatrix ⇒ Quaternion:

$$q_w = \frac{1}{2} \sqrt{1 + \sum_{i=1}^{3} m_{ii}}$$

$$q_x = (m_{32} - m_{23})/(4q_w)$$

$$q_y = (m_{13} - m_{31})/(4q_w)$$

$$q_z = (m_{21} - m_{12})/(4q_w)$$

Quaternionen VII



Vorteile:

- Rotation direkt um gewünschte Drehachse
- Interpolation möglich
- Weniger Rechenaufwand
- Keine Redundanz ⇒ numerisch stabiler, weniger Gefahr für Singularitäten

Nachteile:

Nur Rotationen berechenbar ⇒ Kombination mit Matrizen nötig ⇒ Rechenaufwand für Umwandlungen

Inhalt der heutigen Vorlesung



- Erweitertes Kameramodell
- Kamerakalibrierung
- Stereokamerasysteme
 - Triangulation
 - Epipolargeometrie
- Bewegungserfassung
 - Menschmodell
 - Bildbasiert mit Partikelfilter
- Bewegungserfassung II
 - Auf der Basis von 3D-Punktwolken unter Verwendung des ICP
- Gesichtserkennung



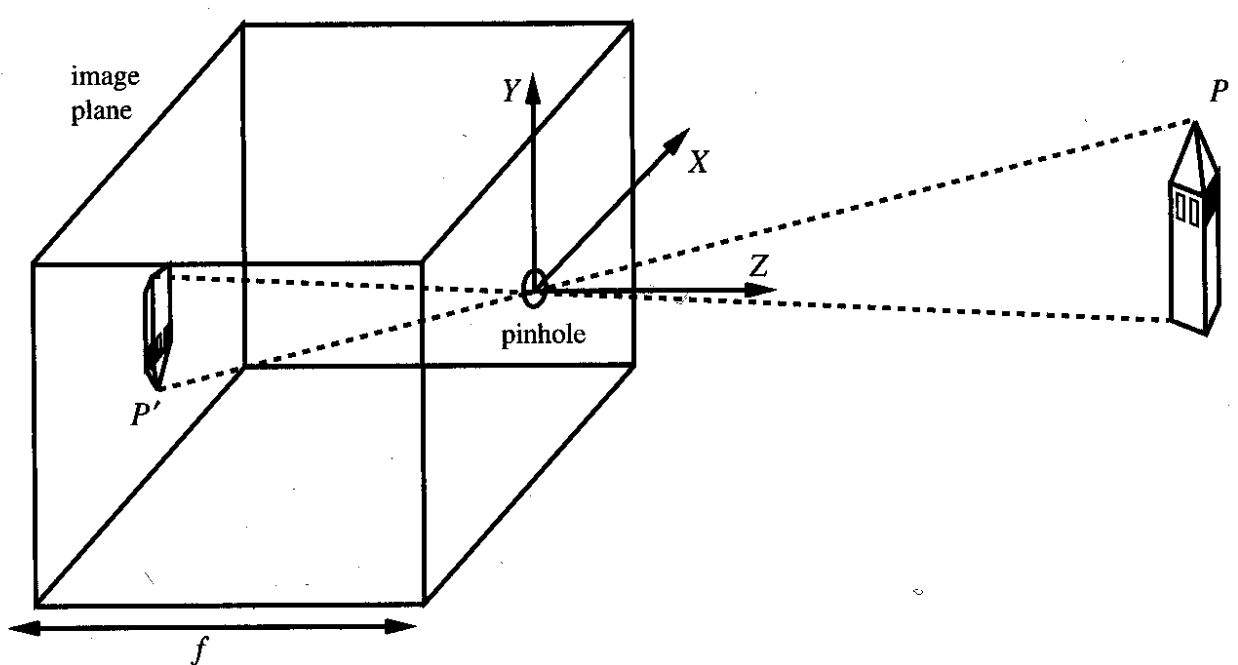


Geometrie und optische Parameter einer Kamera

Lochkamera (ideales Modell)



Einfachstes Modell: Lochkameramodell



Interner Parameter: Brennweite f ("Fokalabstand")

$$\begin{pmatrix} u \\ v \end{pmatrix} = -\frac{f}{Z} \begin{pmatrix} X \\ Y \end{pmatrix}$$

Erweitertes Kameramodell



- Lochkameramodell vereinfacht die realen optischen Verhältnisse stark.
- In der Praxis: Erweitertes Lochkameramodell
- Zunächst einige Definitionen:
 - Optische Achse:
 Gerade durch das Projektionszentrum, senkrecht zur Bildebene
 - Bildhauptpunkt $C(c_x, c_y)$: Schnittpunkt der optischen Achse mit der Bildebene

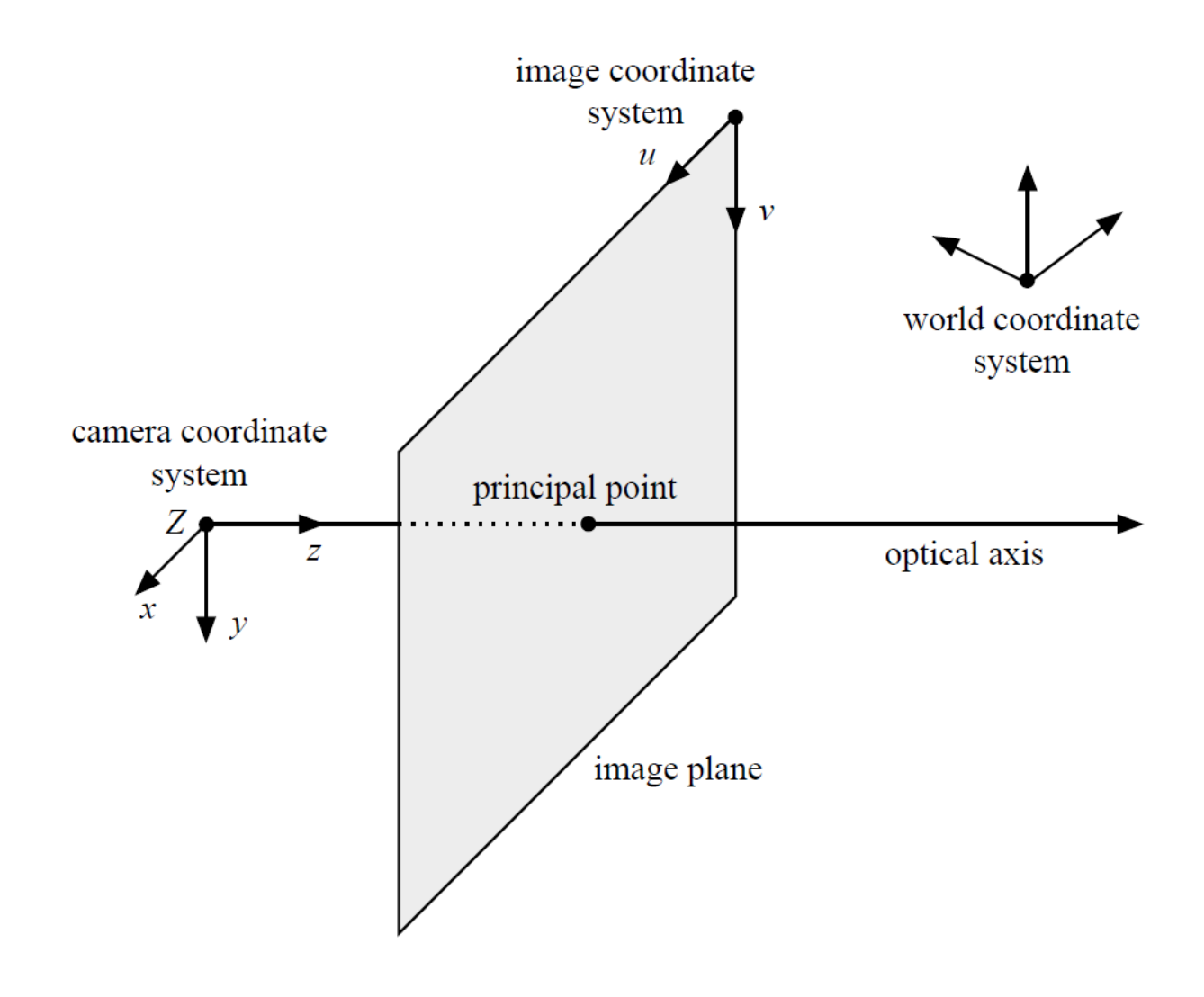
Erweitertes Kameramodell I



- Koordinatensysteme:
 - Bildkoordinatensystem:
 2D-Koordinatensystem, Einheit [Pixel], Vereinbarung für die Vorlesung (gilt für die meisten Kameratreiber): Ursprung in der linken oberen Ecke des Bildes, *u*-Achse zeigt nach rechts, *v*-Achse zeigt nach unten
 - Kamerakoordinatensystem: 3D-Koordinatensystem, Einheit [mm], Ursprung liegt im Projektionszentrum, Achsen parallel zu den Achsen des Bildkoordinatensystems, d.h. x-Achse nach rechts, y-Achse nach unten, und die z-Achse gemäß der Dreifingerregel für ein rechtshändiges Koordinatensystem nach vorne
 - Weltkoordinatensystem:
 3D-Koordinatensystem, Einheit [mm],
 Basiskoordinatensystem, das beliebig im Raum liegen kann

Erweitertes Kameramodell II





Erweitertes Kameramodell III



Begriffe:

- Intrinsische Kameraparameter: Brennweite, Bildhauptpunkt, Parameter für die Beschreibung radialer/tangentialer Linsenverzerrung; definieren die nicht (eindeutig) umkehrbare Abbildung vom Kamerakoordinatensystem in das Bildkoordinatensystem
- Extrinsische Kameraparameter: Definieren die Beziehung zwischen dem Kamerakoordinatensystem und dem Weltkoordinatensystem, im Allgemeinen beschrieben durch eine Rotation R und eine Translation t

Erweitertes Kameramodell IV



- Vereinfachungen des Lochkameramodells:
 - Ursprung des Bildkoordinatensystems ist identisch mit dem Bildhauptpunkt
 - Pixel werden als quadratisch angenommen
 - Keinerlei Modellierung der Linsenverzerrung
 - Es existiert kein Weltkoordinatensystem bzw. es ist identisch mit dem Kamerakoordinatensystem, d.h. es werden keine extrinsischen Kameraparameter modelliert

Erweitertes Kameramodell V



Brennweite:

- In der Praxis wird die Umrechnung von [mm] nach [Pixel] in die Parameter für die Brennweite mit aufgenommen
- Da Pixel nicht mehr als quadratisch sondern als rechteckig angenommen werden, gibt es deshalb für jede Richtung einen Parameter, also: f_x , f_y
- Die Parameter f_x , f_y sind dann das Produkt aus der tatsächlichen Brennweite mit Einheit [mm] und dem jeweiligen Umrechnungsfaktor mit Einheit [Pixel/mm]
- Die Einheit für die Parameter f_x , f_y ist somit [Pixel]

Erweitertes Kameramodell VII



Die Abbildung vom Kamerakoordinatensystem in das Bildkoordinatensystem, ausschließlich mit den intrinsischen Parametern, ist dann definiert durch:

$$\begin{pmatrix} u \\ v \end{pmatrix} = \begin{pmatrix} c_x \\ c_y \end{pmatrix} + \frac{1}{Z} \cdot \begin{pmatrix} f_x \cdot X \\ f_y \cdot Y \end{pmatrix}$$

Oder als Matrixmultiplikation mit Kalibriermatrix K auf homogenen Koordinaten:

$$\begin{pmatrix} u \cdot w \\ v \cdot w \\ w \end{pmatrix} = K \begin{pmatrix} X \\ Y \\ Z \end{pmatrix} \quad K = \begin{pmatrix} f_x & 0 & c_x \\ 0 & f_y & c_y \\ 0 & 0 & 1 \end{pmatrix}$$

Erweitertes Kameramodell VIII



- Extrinsische Kamerakalibrierung
 - Ist definiert durch eine Koordinatentransformation bestehend aus Rotation und Translation
 - Koordinatentransformation vom Weltkoordinatensystem in das Kamerakoordinatensystem:

$$\mathbf{x}_{c} = R \, \mathbf{x}_{w} + \mathbf{t}$$

■ 3×4 Gesamt-Projektionsmatrix *P* (intrinsisch und extrinsisch) auf homogenen Koordinaten:

$$\begin{pmatrix} u \cdot w \\ v \cdot w \\ w \end{pmatrix} = P \begin{pmatrix} X \\ Y \\ Z \\ 1 \end{pmatrix} P = (KR \mid Kt)$$

Kamerakalibrierung



- Die Kalibrierung einer Kamera bedeutet die Bestimmung ihrer Parameter bezüglich eines gewählten Kameramodells
- Die Bestimmung der intrinsischen Parameter ist unabhängig vom Aufbau; solange Zoom und Fokus der Kamera gleich bleiben, verändern sich diese Parameter nicht
- Die Bestimmung der extrinsischen Parameter ist abhängig von der Wahl des Weltkoordinatensystems und ändert sich je nach Aufbau

Kamerakalibrierung II



Ist die Kamera kalibriert, dann liegt die Abbildungsfunktion f vor, die einen Punkt vom Weltkoordinatensystem eindeutig in das Bildkoordinatensystem abbildet:

$$f: \mathbb{R}^3 \to \mathbb{R}^2$$

- f ist definiert durch die Projektionsmatrix P und anschließende Transformation der homogenen Koordinaten durch Division durch w
- Die inverse Abbildung bildet einen Punkt im Bildkoordinatensystem auf eine Gerade im Weltkoordinatensystem ab, die durch das Projektionszentrum verläuft

Kamerakalibrierung III

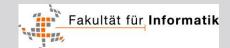


- Verfahren zur Kamerakalibrierung:
 - Roger Y. Tsai: "A versatile Camera Calibration Technique for High-Accuracy 3D Machine Vision Metrology Using Off-the-Shelf TV Cameras and Lenses", 1987
 - Direkte Lineare Transformation (DLT)
 - Erweiterungen der DLT, welche Linsenverzerrung modellieren

Kamerakalibrierung IV



- Gesucht:
 - P ist 3×4-Matrix, hat also 12 Unbekannte
- Verfahren Testfeldkalibrierung:
 - Bestimmung einer Menge von Punktkorrespondenzen: 3D-Punkt in einem gewählten Weltkoordinatensystem und 2D-Punkt im Bildkoordinatensystem
 - 3D-Punkte sind durch Verwendung eines geeigneten Kalibrierobjekts oder -musters a priori bekannt
 - 2D-Punkte werden durch Methoden der Bildverarbeitung berechnet
- Benötigt:
 6 bekannte Objektpunkte, da jede Punktkorrespondenz zwei Gleichungen liefert

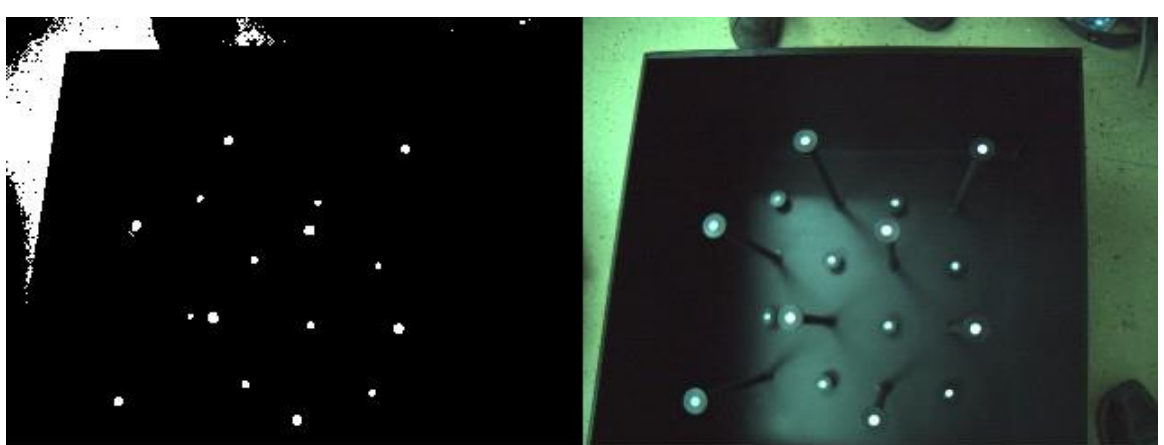


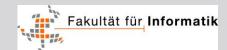
Kamerakalibrierung V



- Bedingung:
 3D-Punkte dürfen nicht koplanar liegen, d.h. sie müssen einen dreidimensionalen Raum aufspannen
- Möglichkeiten:
 - Verwendung eines 2D-Musters, das in mindestens zwei verschiedenen Tiefen präsentiert wird
 - Verwendung eines geeigneten 3D-Kalibrierobjekts, wie unten abgebildet







Direkte Lineare Transformation



Ein Standardverfahren für die Berechnung der Projektionsmatrix P ist die Direkte Lineare Transformation (DLT)

$$\begin{pmatrix} u \cdot w \\ v \cdot w \\ w \end{pmatrix} = P \begin{pmatrix} X \\ Y \\ Z \\ 1 \end{pmatrix} \quad P = (KR \mid Kt) = \begin{pmatrix} p_1 & p_2 & p_3 & p_4 \\ p_5 & p_6 & p_7 & p_8 \\ p_9 & p_{10} & p_{11} & p_{12} \end{pmatrix}$$

$$\Rightarrow u = \frac{p_1 X + p_2 Y + p_3 Z + p_4}{p_9 X + p_{10} Y + p_{11} Z + p_{12}}$$

$$v = \frac{p_5 X + p_6 Y + p_7 Z + p_8}{p_9 X + p_{10} Y + p_{11} Z + p_{12}}$$

o.B.d.A. kann ein Parameter normiert werden. Üblicherweise wird $p_{12} = 1$ gewählt.

Direkte Lineare Transformation II



$$\Rightarrow \begin{array}{l} p_1X + p_2Y + p_3Z + p_4 = up_9X + up_{10}Y + up_{11}Z + u \\ p_5X + p_6Y + p_7Z + p_8 = vp_9X + vp_{10}Y + vp_{11}Z + v \end{array}$$

Formulierung als überbestimmtes LGS Ax = b mit $n \ge 6$ Punktkorrespondenzen, das beispielsweise mit Hilfe der Normalengleichung gelöst werden kann:

$$A = \begin{pmatrix} X_1 & Y_1 & Z_1 & 1 & 0 & 0 & 0 & -u_1X_1 & -u_1Y_1 & -u_1Z_1 \\ 0 & 0 & 0 & 0 & X_1 & Y_1 & Z_1 & 1 & -v_1X_1 & -v_1Y_1 & -v_1Z_1 \\ \vdots & \vdots \\ X_n & Y_n & Z_n & 1 & 0 & 0 & 0 & -u_nX_n & -u_nY_n & -u_nZ_n \\ 0 & 0 & 0 & 0 & X_n & Y_n & Z_n & 1 & -v_nX_n & -v_nY_n & -v_nZ_n \end{pmatrix} \quad \mathbf{x} = \begin{pmatrix} u_1 \\ v_1 \\ \vdots \\ p_{11} \end{pmatrix} \quad \mathbf{b} = \begin{pmatrix} u_1 \\ v_1 \\ \vdots \\ u_n \\ v_n \end{pmatrix}$$



Geometrische Beziehungen zwischen zwei Kameras

Stereorekonstruktion



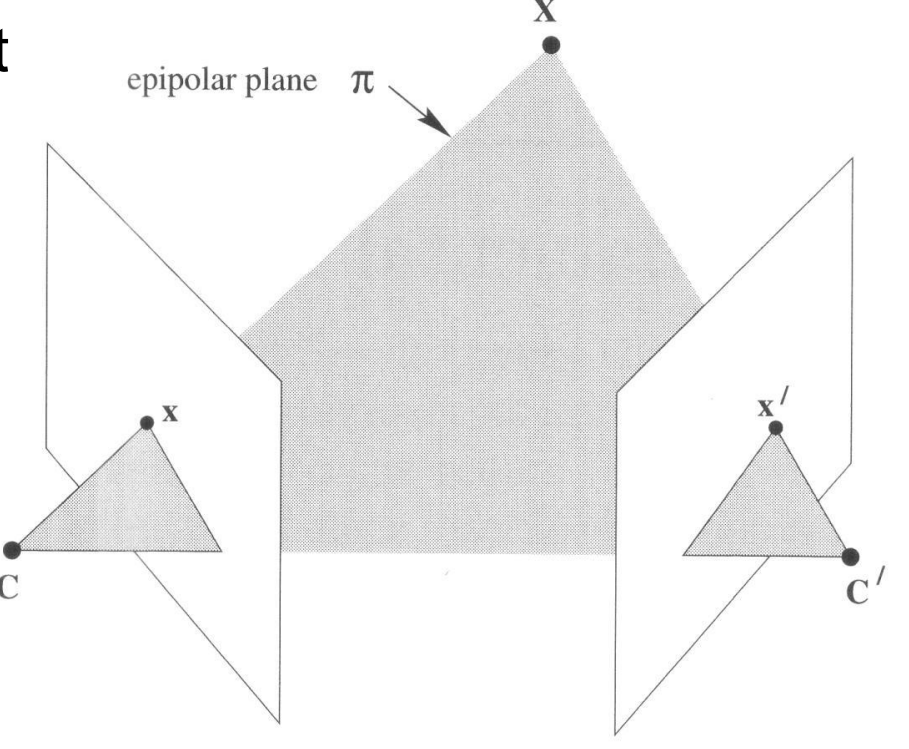
Gegeben:

Zwei Kameras, mit Projektionsmatrizen P und P'

 \blacksquare Zwei Abbilder x und x' des Punktes X

Dann kann X rekonstruiert

werden



Stereorekonstruktion II



- Triangulation zwischen linker und rechter Kamera möglich durch Kenntnis der Kameraparameter
- Eine Möglichkeit zur Berechnung von 3D-Punkten aus Bildpunkt-Korrespondenzen x, x':
 - Aufstellen der beiden Geraden g, g' der möglichen Punkte zu x, x' im Weltkoordinatensystem mit Hilfe der Projektionsmatrizen P, P': $g: x = a + r \cdot u$

$$g': \mathbf{x} = \mathbf{b} + s \cdot \mathbf{v}$$

■ Berechnung des optimalen "Schnittpunktes" S durch Lösung des überbestimmten LGS Ax = c mit:

$$A = \begin{pmatrix} u_1 & -v_1 \\ u_2 & -v_2 \\ u_3 & -v_3 \end{pmatrix}, \quad \mathbf{x} = \begin{pmatrix} \mathbf{r}^* \\ \mathbf{s}^* \end{pmatrix}, \quad \mathbf{c} = \mathbf{b} - \mathbf{a} \qquad \mathbf{s} = \frac{\mathbf{a} + \mathbf{r}^* \cdot \mathbf{u} + \mathbf{b} + \mathbf{s}^* \cdot \mathbf{v}}{2}$$

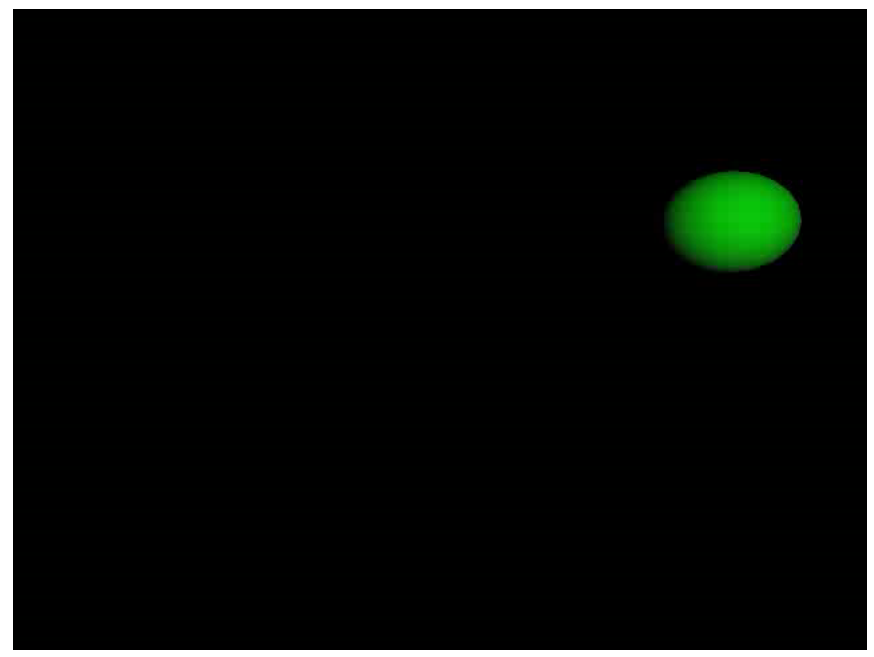
Stereorekonstruktion III



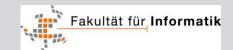
 3D-Tracking von Kopf und Händen auf der Basis von Hautfarbe, Region-Growing und Stereo-Kalibrierung



Eingabevideo der linken Kamera



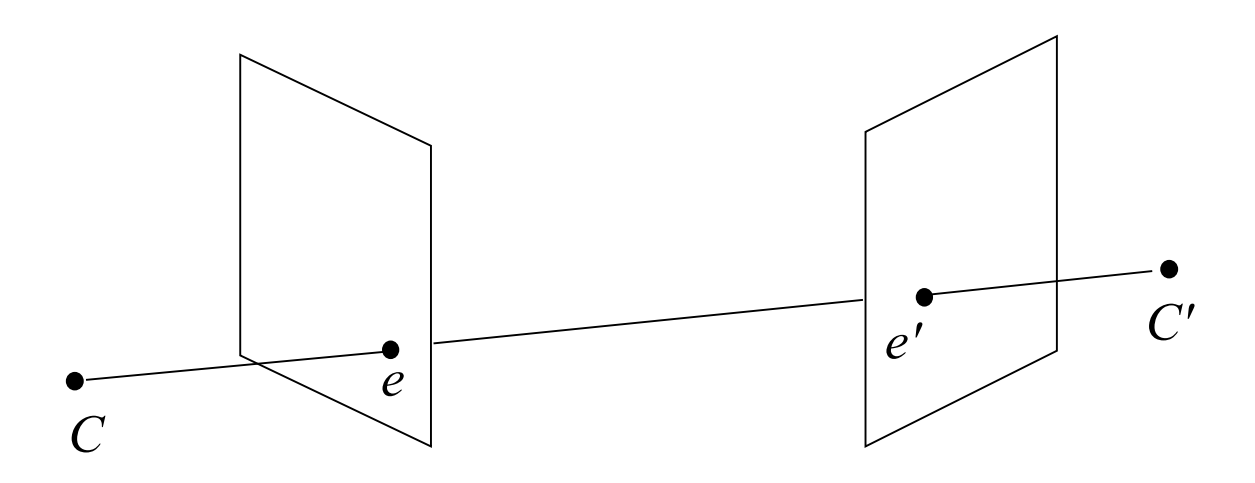
3D-Visualisierung des Ergebnisses

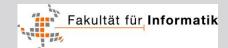


Epipolargeometrie



- Zusammenhang zwischen zwei Kameras ist gegeben durch die Epipolargeometrie
- Die Schnittpunkte e und e' der Geraden durch die Projektionszentren mit den Bildebenen nennt man *Epipole*





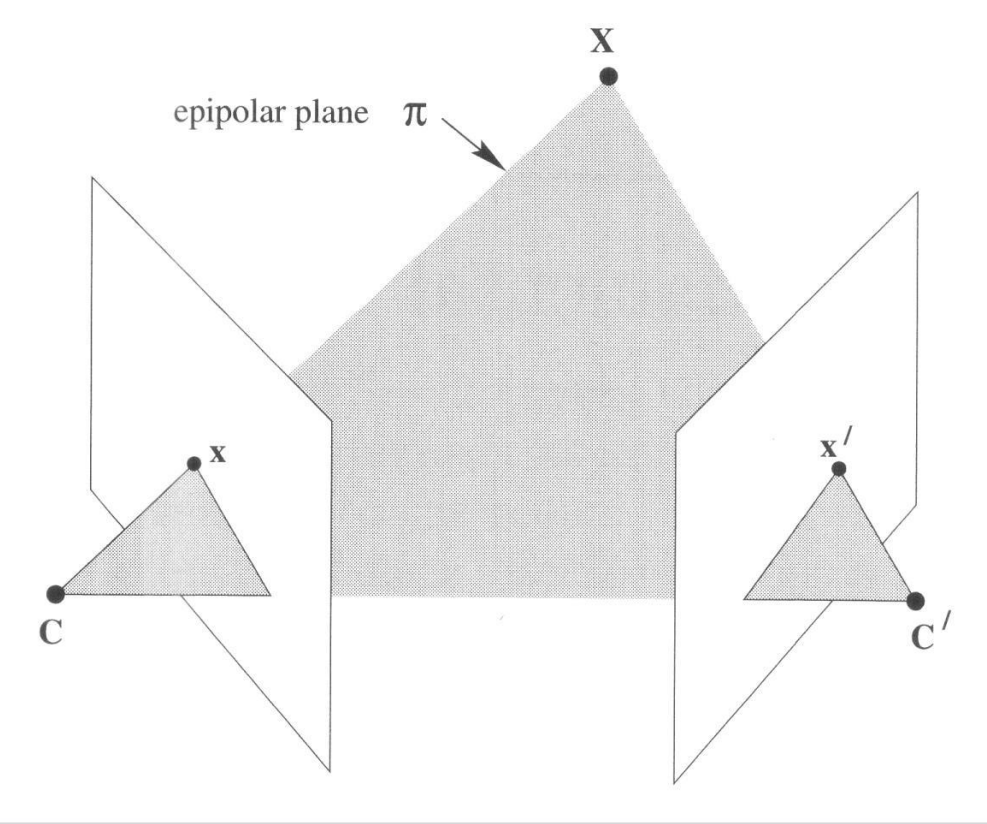
Epipolargeometrie II



Epipolarebene $\pi(X)$:

Ebene, die durch C, C' und Szenenpunkt X aufgespannt

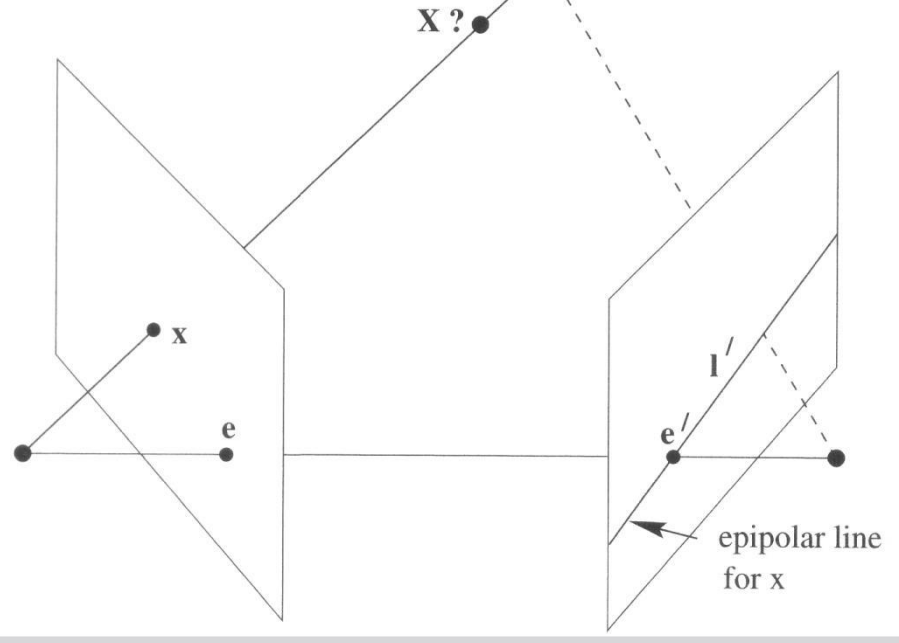
wird



Epipolargeometrie III



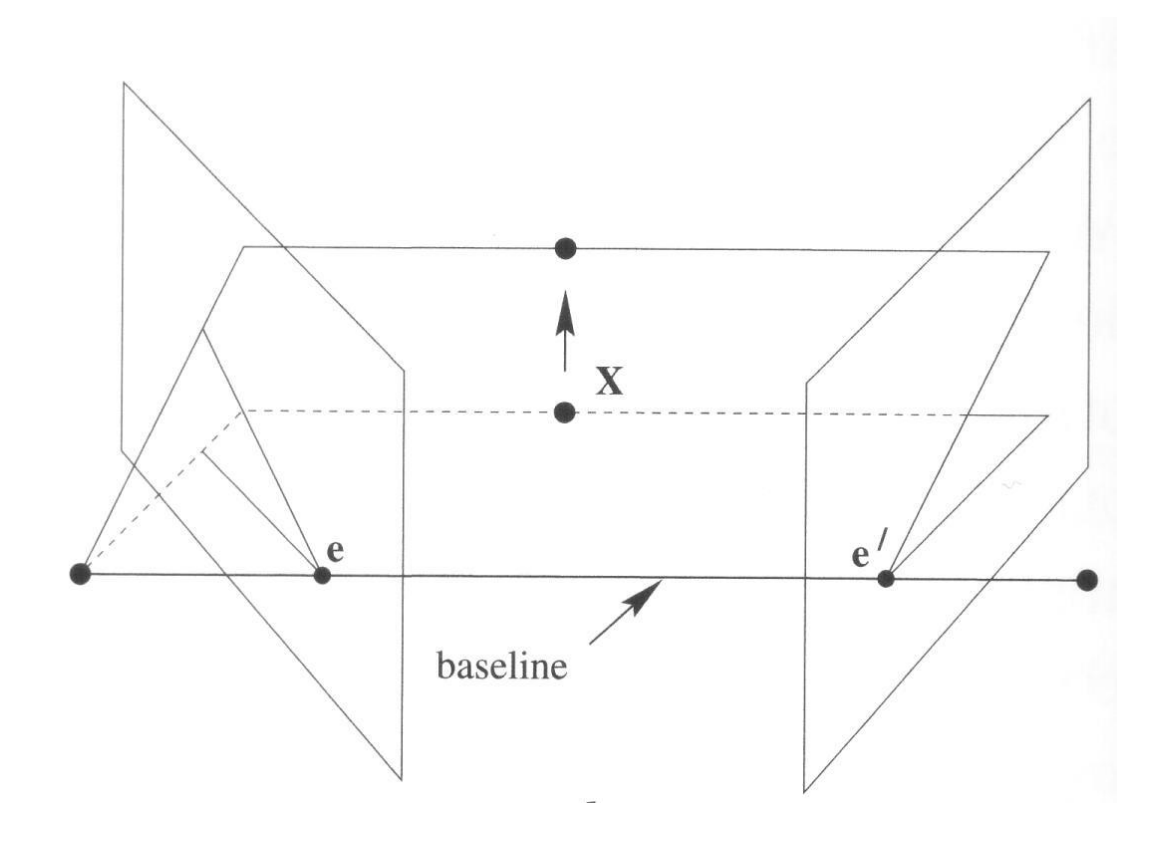
- Epipolarlinie l'(x): Schnittgerade von $\pi(X)$ mit Bildebene
- Alle Punkte X, die auf x in Kamera 1 abgebildet werden, werden auf einen Punkt der Linie l'(x) in Kamera 2 abgebildet



Epipolargeometire IV



Alle Epipolarlinien eines Kamerasystems schneiden sich in den Epipolen e und e'





Epipolargeometrie V

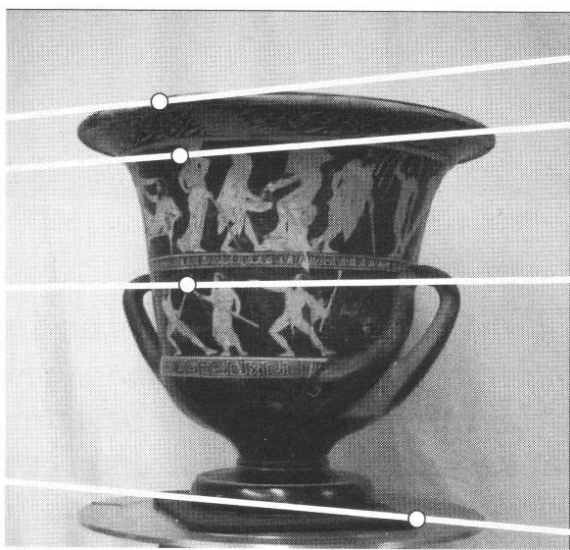


Nutzen:

Einschränkung des Korrespondenzproblems von zwei Dimensionen auf eine Dimension, da nach entsprechenden Merkmalen nur noch entlang der Epipolarlinie gesucht werden muss:

- Höhere Robustheit (weniger falsche Korrespondenzen)
- Höhere Effizienz





Fundamentalmatrix



- Mathematische Beschreibung der Epipolargeometrie erfolgt durch die Fundamentalmatrix
- Eigenschaften der Fundamentalmatrix F:
 - Ist 3×3-Matrix
 - Hat Rang 2
 - Für alle Korrespondenzen x, x' gilt: $x'^TFx = 0$ x und x' sind Bildpunkte in homogenen Koordinaten mit w = 1

Fundamentalmatrix II



- Mit der Fundamentalmatrix lassen sich die Epipolarlinien berechnen
- Epipolarlinien:

$$l = F^T x'$$

$$l' = Fx$$

Für die Epipole gilt:

$$\mathbf{Fe} = 0$$

$$F^Te'=0$$

Hinweis: l (bzw. l) definieren eine 2D-Gerade wie folgt: $l \cdot x = 0$ für alle Bildpunkte x (in homogenen Koordinaten mit w = 1), die auf dieser Geraden liegen

Fundamentalmatrix III



- Die Fundamentalmatrix lässt sich auf mehrere Arten berechnen:
 - Über Bildpunkt-Korrespondenzen in der linken und rechten Kamera
 - Bei bekannter intrinsischer und extrinsischer Kalibrierung der Kameras direkt über die Kalibriermatrizen K, K und die Essentialmatrix E, die durch die extrinsischen Parameter definiert ist

Fundamentalmatrix IV



Berechnung über Bildpunkt-Korrespondenzen:

$$\mathbf{x}'^T \mathbf{F} \mathbf{x} = 0, \ \mathbf{x}' = (x', y', z'), \mathbf{x} = (x, y, z)$$

$$x' x f_{11} + x' y f_{12} + x' f_{13}$$

$$\Rightarrow \begin{array}{c} +y'xf_{21} + y'yf_{22} + y'f_{23} \\ +xf_{31} + yf_{32} + f_{33} &= 0 \end{array}$$

Für $n \ge 7$ Korrespondenzen x, x':

A f = 0 lösen z.B. mit Singulärwertzerlegung (SVD)

Fundamentalmatrix V



- Berechnung der Fundamentalmatrix über Essentialmatrix
- Essentialmatrix lässt sich durch die extrinsischen Parameter berechnen:
 - Gegeben:
 - Kamera 1 mit $(I \mid \theta)$ als Transformation (Identität)
 - Kamera 2 mit $(R \mid t)$ als Transformation
 - Essentialmatrix *E* lässt sich berechnen zu:

$$E = [t]_{\times} R = \begin{pmatrix} 0 & -t_3 & t_2 \\ t_3 & 0 & -t_1 \\ -t_2 & t_1 & 0 \end{pmatrix} R$$
 Für die Epipole gilt:
$$e = -KR^T t$$

$$e' = K' t$$

Fundamentalmatrix VI



Hat man die Essentialmatrix (z.B. berechnet über die extrinsischen Parameter) und die intrinsischen Parameter, d.h. die Kalibriermatrizen K, K', so lässt sich die Fundamentalmatrix berechnen zu:

$$F = K^{-T}EK^{-1}$$

Hat man umgekehrt die Fundamentalmatrix (z.B. bestimmt über Bildpunkt-Korrespondenzen) und die intrinsischen Parameter, d.h. die Kalibriermatrizen K, K', so lässt sich die Essentialmatrix berechnen zu:

$$E = K^T F K$$



Stereo-Sehen



- Weitere Eigenschaften der Fundamentalmatrix:
 - Mit ihr lassen sich die Eingabebilder rektifizieren
 - Nach Rektifizierung verlaufen alle Epipolarlinien horizontal mit derselben v-Koordinate wie der Bildpunkt im anderen Kamerabild
 - Nach Korrespondenzen muss nur noch horizontal (in eine Richtung) gesucht werden
 - Mit Hilfe der Essentialmatrix lassen sich die Projektionsmatrizen bis auf Skalierung genau rekonstruieren, mit Hilfe der Fundamentalmatrix bis auf Skalierung und Projektion genau

Stereo-Sehen II



- Rektifizierte Bilder haben den Vorteil, dass sich optimierte Korrelations-Algorithmen für die Lösung des Korrespondenzproblems verwenden lassen
 ⇒ Laufzeit unabhängig von der Fenstergröße
- Nachteile:
 - Interpolation notwendig für die Berechnung der rektifzierten Bilder
 ⇒ Qualitätsverlust
 - Bilder je nach Aufbau stark verzerrt



Stereo-Sehen III



■ Beispiel für Rektifizierung mit einem Standard-Stereo-Setup ⇒ relativ geringe Verzerrungen

Originalbilder links / rechts



Rektifizierte Bilder links / rechts









Stereo-Sehen III



- Nach Lösung des Korrespondenzproblems können:
 - Punktwolken berechnet werden durch Triangulation, wie zuvor erläutert
 - Tiefenbilder erzeugt werden durch Eintrag der Disparitäten (Differenz der *u*-Koordinaten für gefundene Korrespondenzen in den rektifizierten Bildern) in ein Graustufenbild:
 - ⇒ Je höher der Grauwert, desto näher befindet sich der entsprechende 3D-Punkt zur Kamera



Stereo-Sehen IV



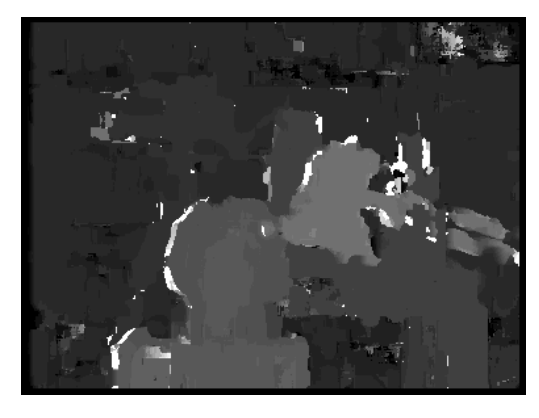
Beispiel für ein Standard-Benchmark Bildpaar "Tsukuba"

Linkes Bild

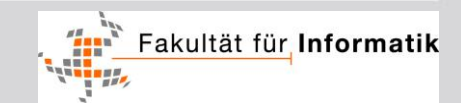




Rechtes Bild



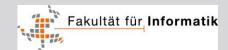
Tiefenbild



Human Motion Capture: Erfassung von Bewegungen und Handlungen des Menschen



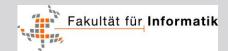
- Problemstellung Human Motion Capture (HMC):
 - Eingabe: Sequenz von Bildern bzw. Bildpaaren oder Bildtupeln, oder Punktwolken
 - Ausgabe: Geschätzte Konfiguration des Menschen(Gelenkwinkel) für jedes Frame bezüglich eines zuvor definierten Menschmodells
 - Schwierigkeit: Hohe Dimensionalität des Suchraumes
 - Eingeschränkte Beobachtbarkeit



Menschmodell



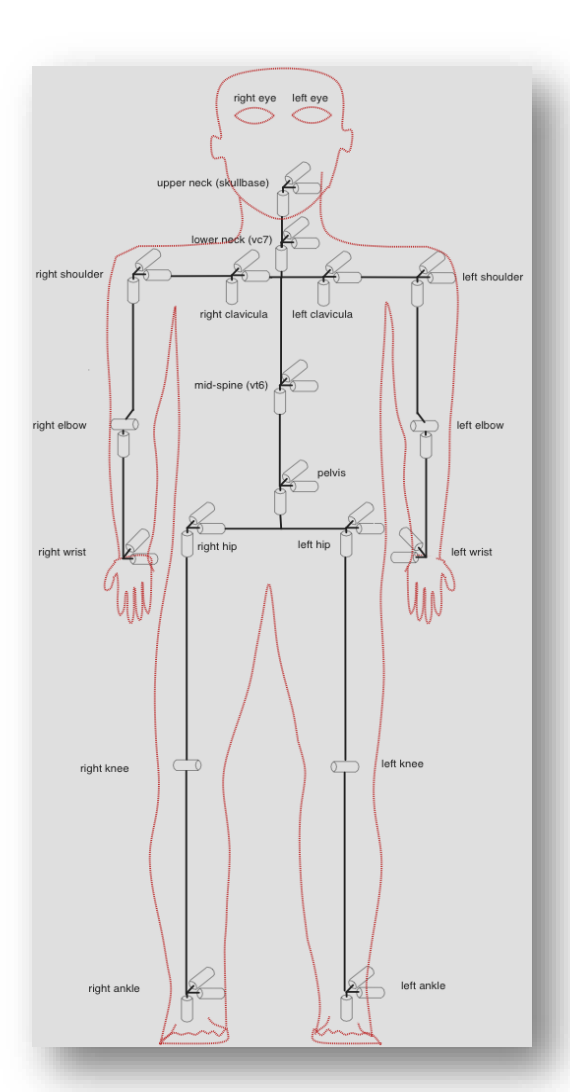
- Menschmodell für Human Motion Capture (HMC) setzt sich zusammen aus:
 - Kinematischem Modell
 - Geometrischem Modell
 - Meist aus Festkörpern bestehend
 - Optional deformierbares Muskel- und Hautmodell
- Aus Gründen der Rechenzeit werden vereinfachte Modelle verwendet

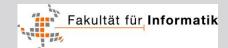


Menschmodell II



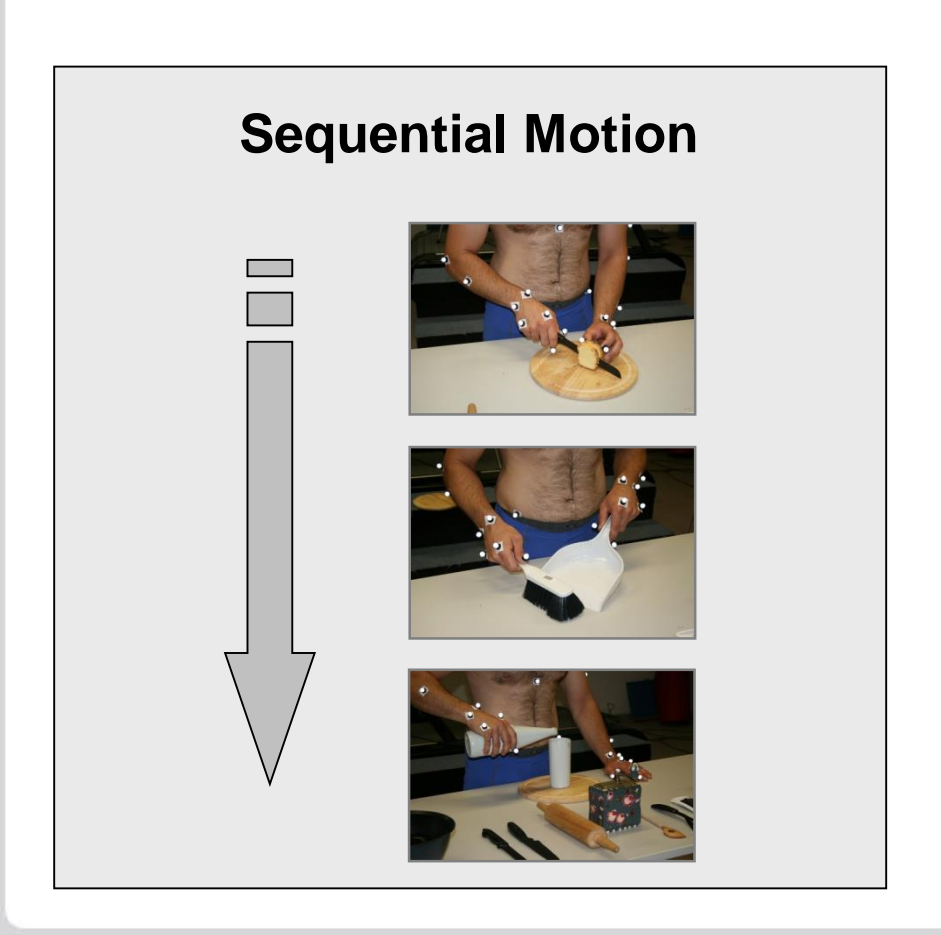
- Kinematisches Modell des Menschen
 - Definiert die Anzahl und Art der Gelenke
 - Definiert die Segmentlängen zwischen den Gelenken
 - Für die Erfassung wird die Schulter meist durch ein einzelnes Kugelgelenk modelliert

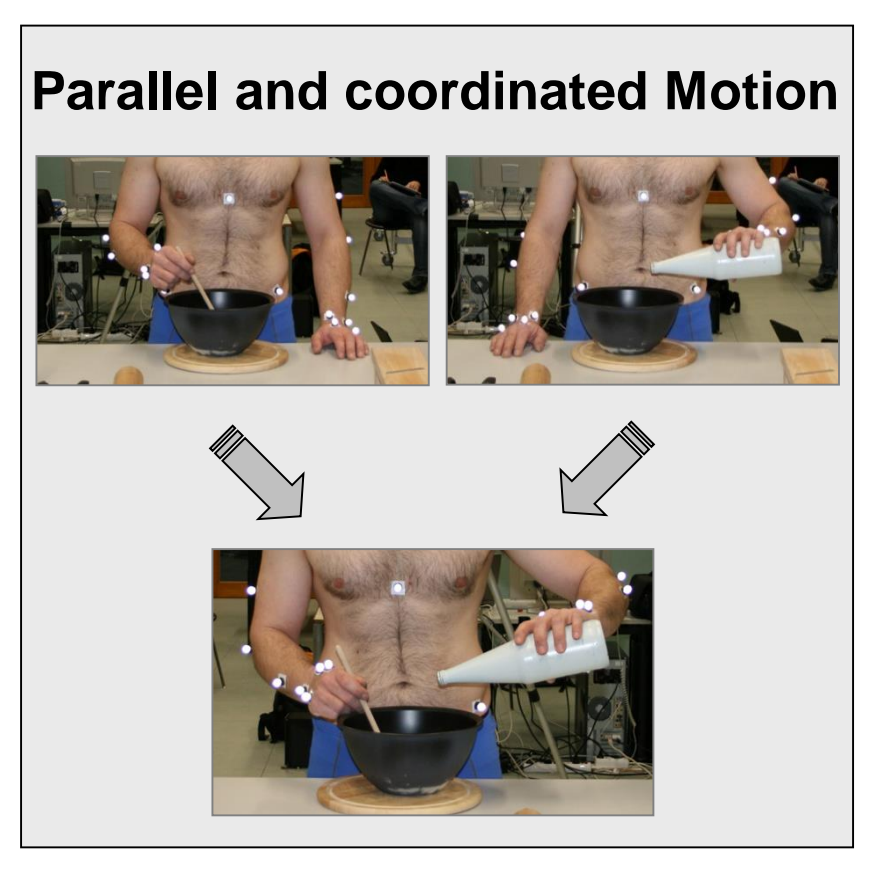




Bewegungs- und Handlungserfassung







KIT whole-body human motion database





https://motion-database.humanoids.kit.edu/



Action representation



- Hidden Markov Models (HMM) Humanoids 2006, IJHR 2008
 - Extract key points (KP) in the demonstration
 - Determine key points that are common in multiple demonstrations (common key points: CKP)
 - Reproduction through interpolation between CKPs
- Dynamic movement primitives (DMP) ICRA 2009, T-RO 2010
 - Ijspeert, Nakanishi & Schaal, 2002
 - Trajectory formulation using canonical systems of differential equations
 - Parameters are estimated using locally weighted regression

Spline-based representations

Humanoids 2007

- fifth order splines that correspond to minimum jerk trajectories to encode the trajectories
- Time normalize the example trajectories
- Determine common knot points so that all example trajectories are properly approximated. Similar to via-point, key-points calculation.

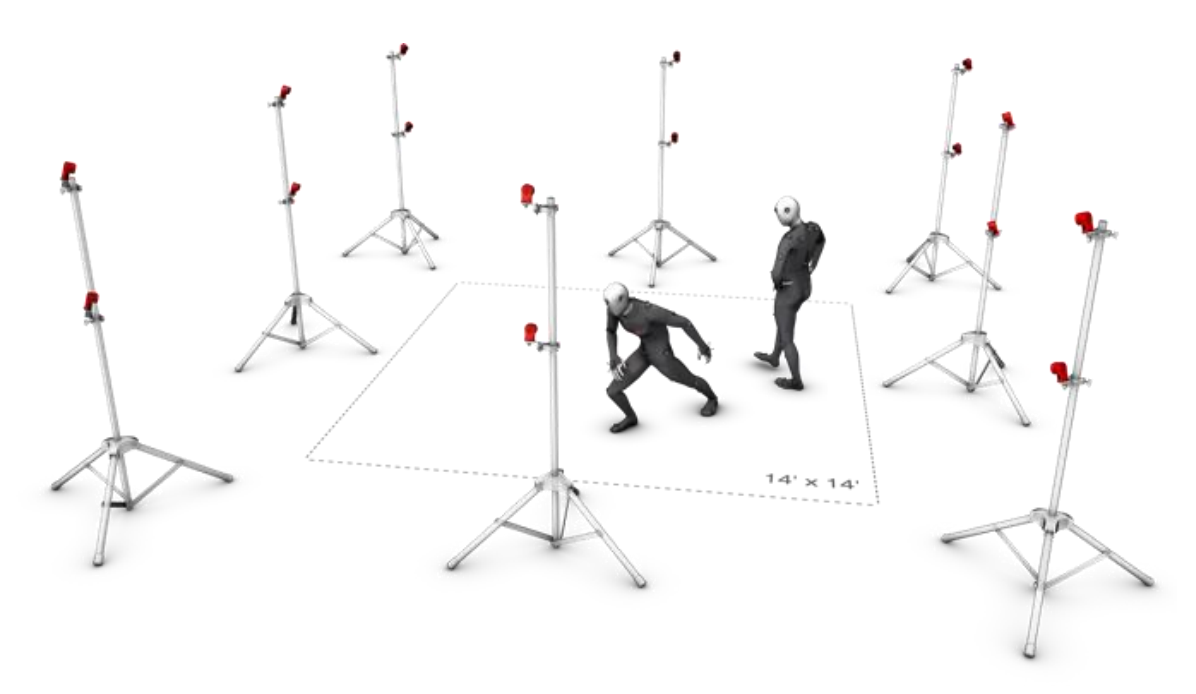


Perception

Karlsruhe Institute of Technology

Motion Capture: Optitrack

Motion tracking system as ground truth reference

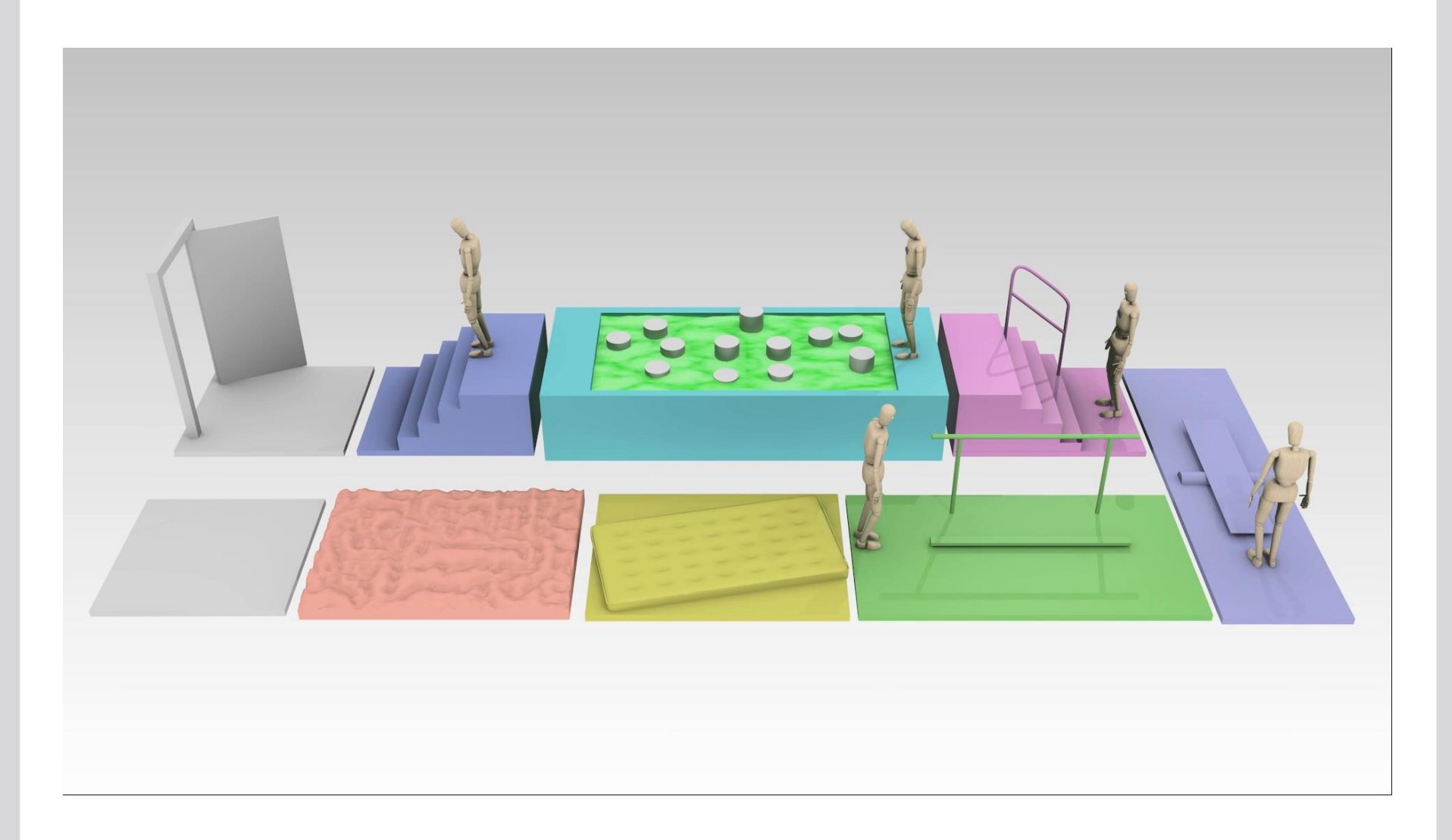


- Cameras: Flex13:
 - 1.3 million pixels, 120 FPS, 56° FOV
- Positional error < 0.3mm, rotational error < 0.05°

65

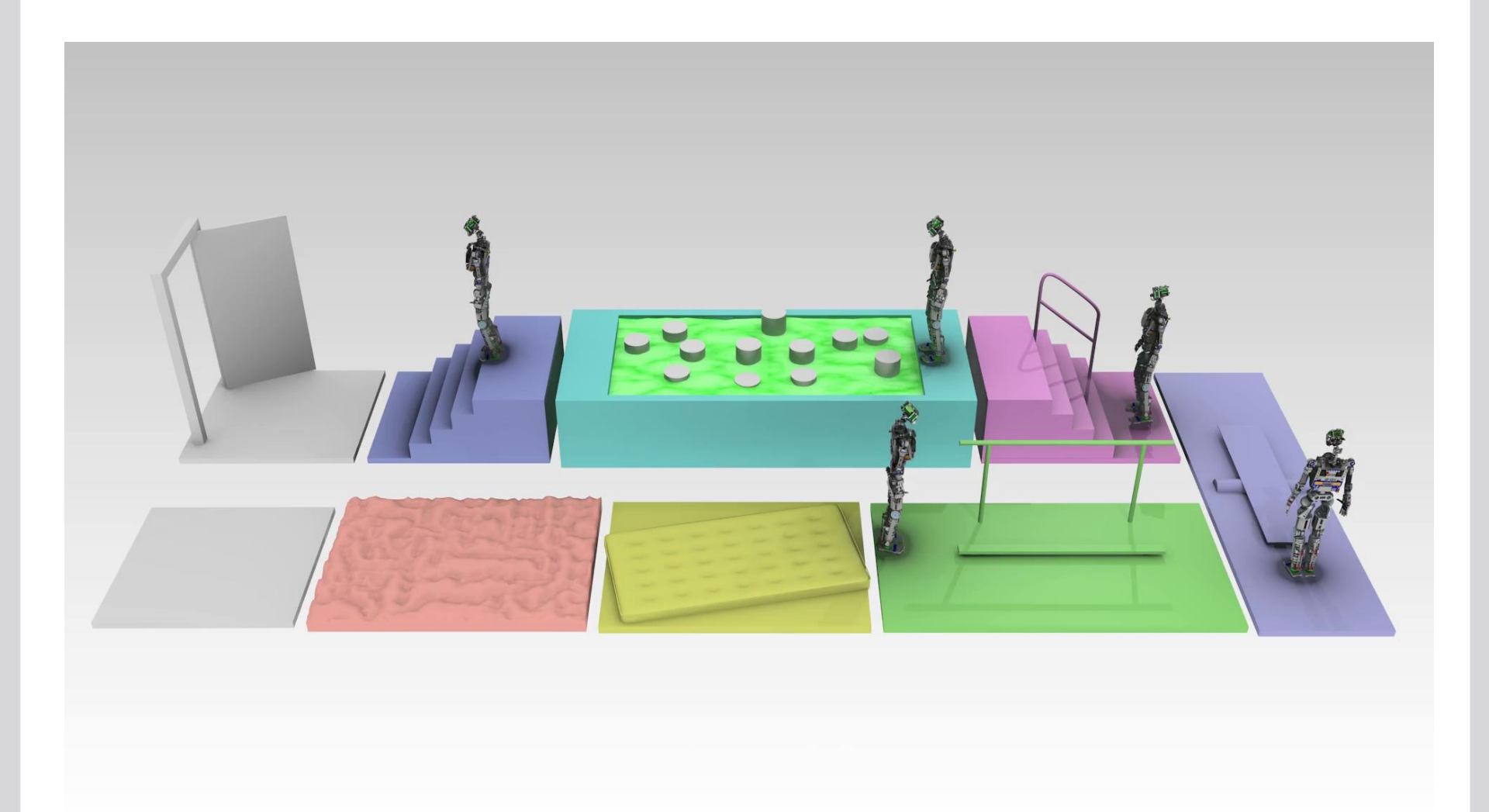
Human → MMM





MMM → ARMAR-4

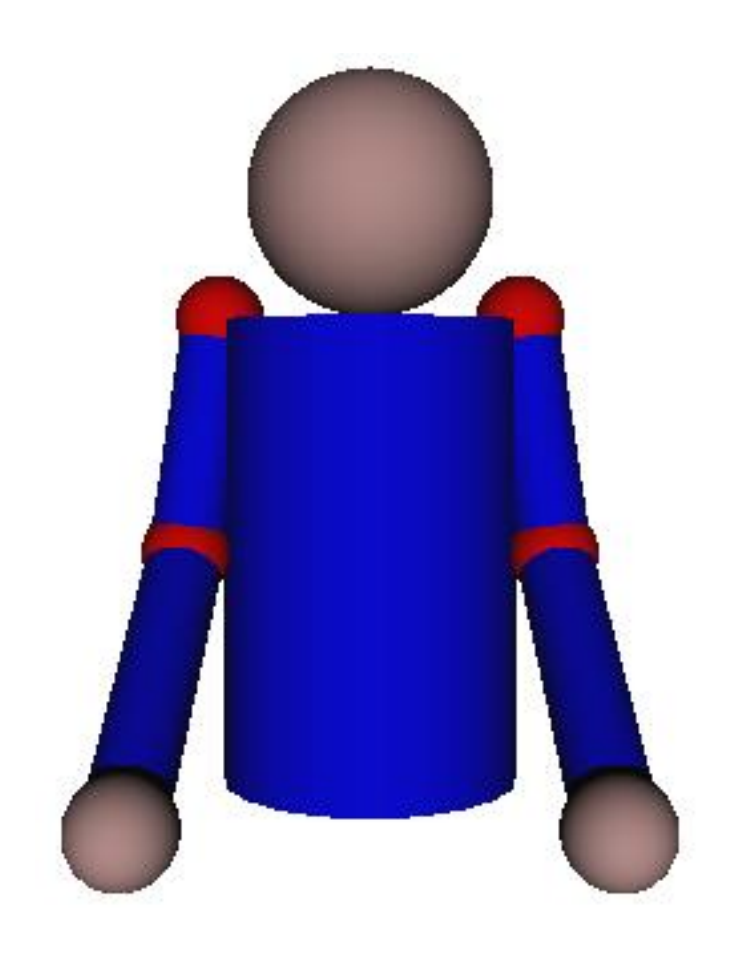




Menschmodell III



- Geometrisches Modell
 - Definiert die 3D-Form der einzelnen Segmente
 - Übliche 3D-Primitive:
 - Zylinder
 - Kegelausschnitte
 - Kreisförmiger Querschnitt
 - Ellipsenförmiger Querschnitt

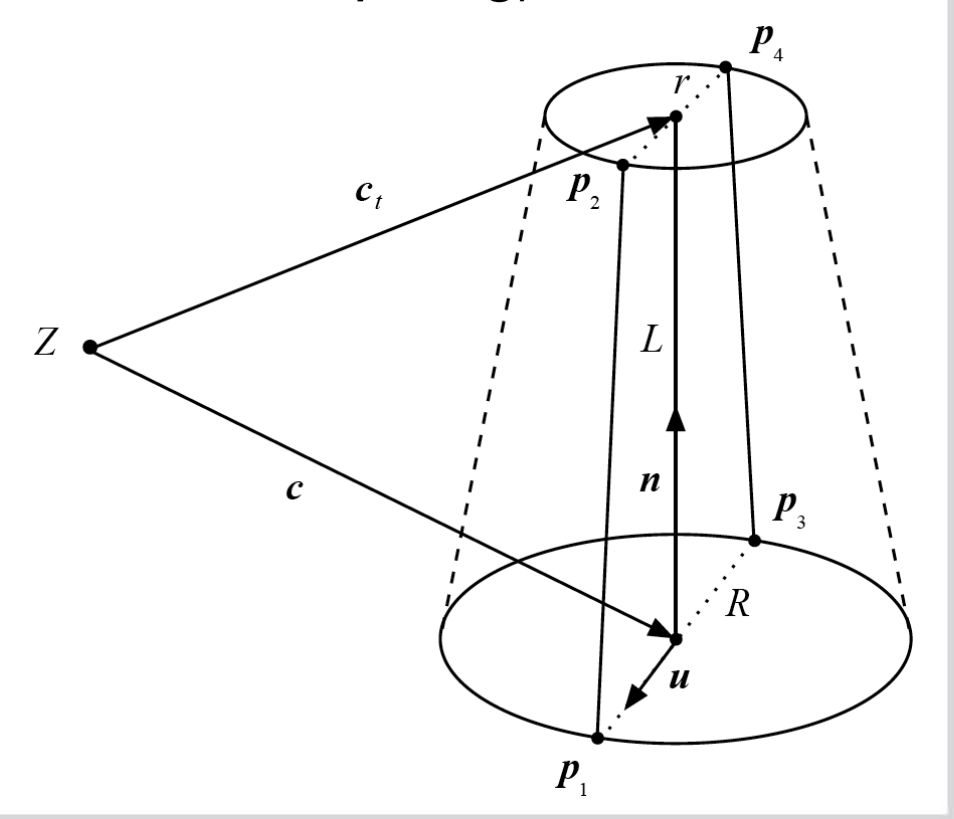


Menschmodell IV



- Berechnung der projizierten Kontur P_1P_2 und P_3P_4 eines Kegelausschnitts mit kreisförmigem Querschnitt
- \blacksquare Gegeben (Z ist Projektionszentrum = Ursprung):
 - Fußpunkt c
 - Richtung n
 - Länge *L*, Radien *r*, *R*
- Berechnung:

$$egin{aligned} oldsymbol{u} &= rac{oldsymbol{n} imes oldsymbol{c}}{|oldsymbol{n} imes oldsymbol{c}_t|} \ oldsymbol{c}_t &= oldsymbol{c} + L \cdot rac{oldsymbol{n}}{|oldsymbol{n}|} \ oldsymbol{p}_{1,3} &= oldsymbol{c} \pm R \cdot oldsymbol{u} \ oldsymbol{p}_{2,4} &= oldsymbol{c} \pm r \cdot oldsymbol{u} \end{aligned}$$



HMC mit Partikel Filter

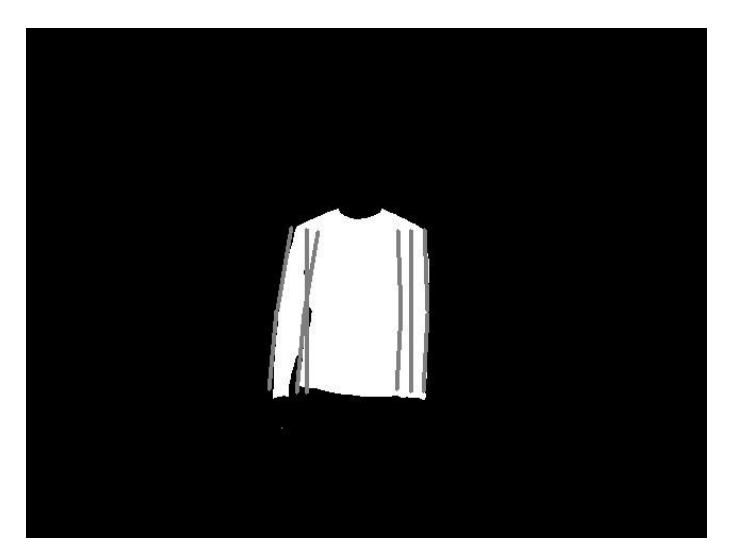


- Den Kern bildet eine Wahrscheinlichkeitsfunktion, welche bewertet, wie gut eine gegebene Konfiguration des Menschmodells zu den aktuellen Beobachtungen (Bilddaten) passt
- Hinweise (engl. Cues) für die Bewertung, die aus den Bilddaten gewonnen werden können, sind:
 - Region Cue [Deutscher et al., 2000]
 - Kanten Cue [Deutscher et al., 2000]
 - Distanz Cue [Azad et al., 2006]

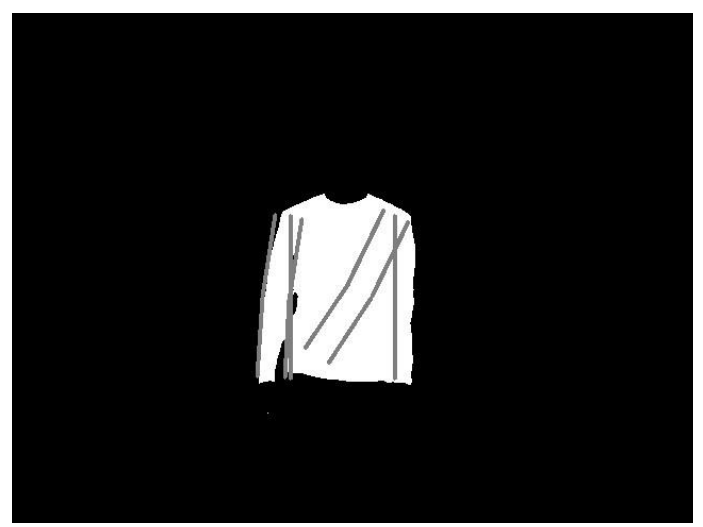
HMC mit Partikel Filter III



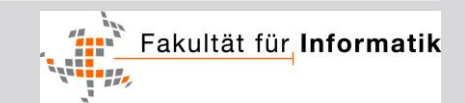
Beispiel einer Mehrdeutigkeit der Region Cue: Beide Konfigurationen produzieren die gleiche Bewertung für dasselbe Segmentierungsergebnis



Korrekte Konfiguration



Falsche Konfiguration



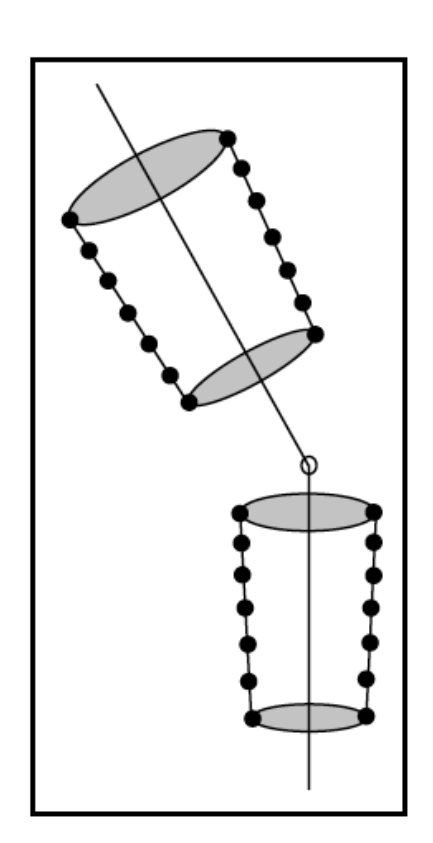
HMC mit Partikel Filter IV



Kanten Cue

- Benötigt Segmentierung der zur Person gehörenden Kanten
- Bewertet den Abgleich des Kanten-Bildes mit der Projektion der Kontur der Körpersegmente
- Hierzu werden Punkte der projizierten Kontur überprüft
- Bewertungsfunktion: (Menge der gerasterten Punkte P, Gradientenbild I_g , $I_g(u,v) \in [0,1]$)

$$w_g(I_g, P) = \frac{1}{|P|} \sum_{i=1}^{|P|} (1 - I_g(\mathbf{p}_i))^2$$

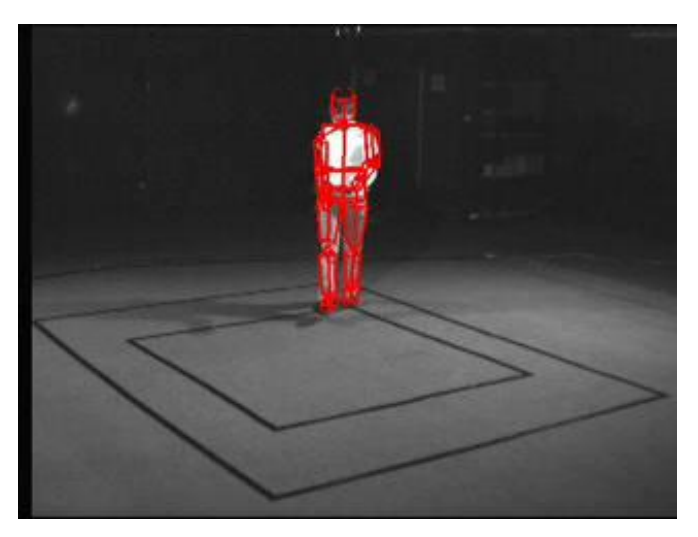


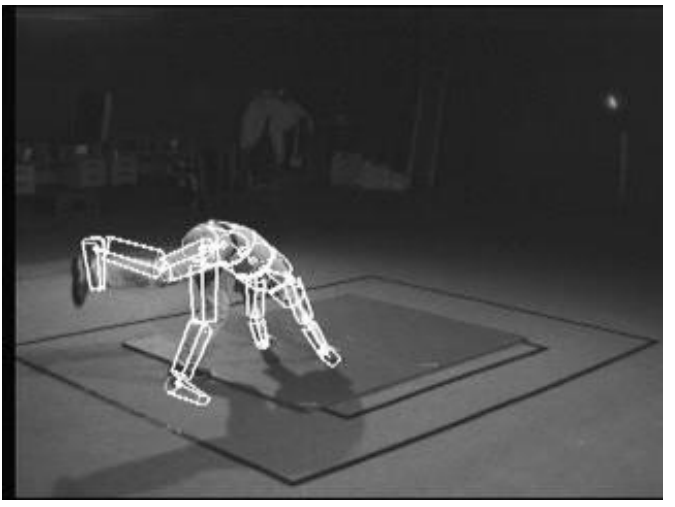
(Aus [Deutscher et al., 2000])

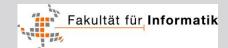
HMC mit Partikel Filter V



- System aus [Deutscher et al., 2000]
 - Fusion der Kanten und Region Cue durch Multiplikation der Wahrscheinlichkeiten
 - Drei Kameras in ca. 120 Grad Abstand auf die Szene gerichtet
 - Verarbeitungsrate: 15 Sekunden pro Frame (1,5 GHz CPU)
 - Kann komplexe Bewegungen erfassen



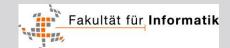




HMC mit Partikel Filter VI



- Probleme bei der Anwendung des Ansatzes auf dem Stereokopf eines humanoiden Roboters:
 - Nur zwei Kameras im Augenabstand (70–100 mm)
 - Geringere Tiefenauflösung
 - Vollständige Okklusionen (Verdeckungen)
 - Roboterkopf nicht statisch
 - Echtzeitanforderung (optimalerweise 30 Hz oder höher)
- Ansatz:
 - Separates Tracking der Hände und des Kopfes
 - Eingabe der bestimmten Positionen in eine Distanz Cue



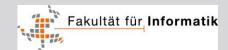
HMC mit Partikel Filter VII



Distanz Cue

- Benötigt 3D Hand/Kopf-Tracking
- Bewertet die Distanz zwischen den erfassten Positionen mittels Hand/Kopf-Tracking und den entsprechenden durch die zu bewertende Konfiguration vorgegebenen Positionen (über Vorwärtskinematik)
- Bewertungsfunktion: (Menge der zu verfolgenden Modellpunkte P; zu p_i korrespondierender verfolgter Punkt $p_i'(I_d)$)

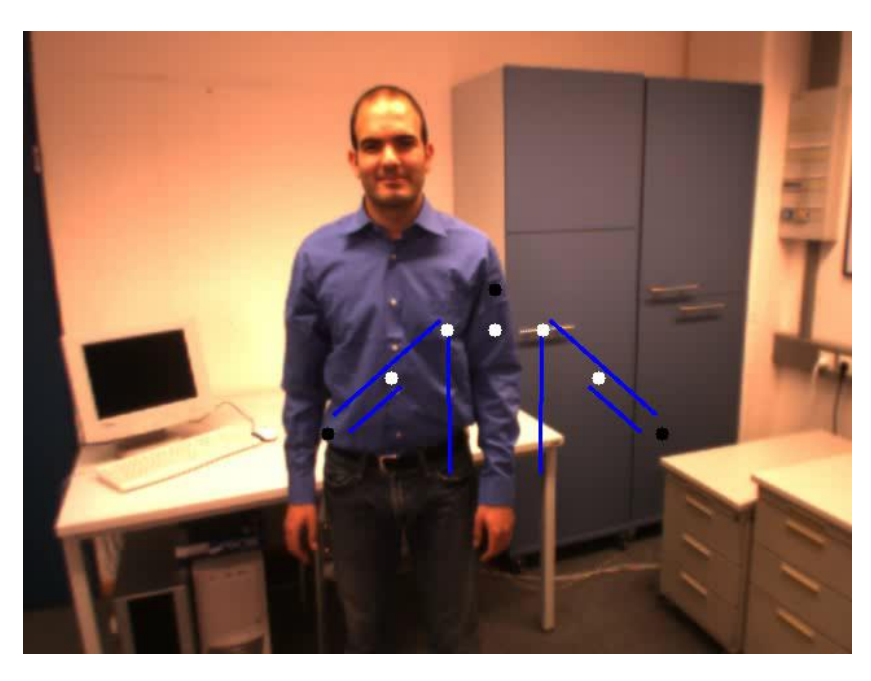
$$w_d(I_d, P) = \sum_{i=1}^{|P|} |\mathbf{p}_i - \mathbf{p}'_i(I_d)|^2$$

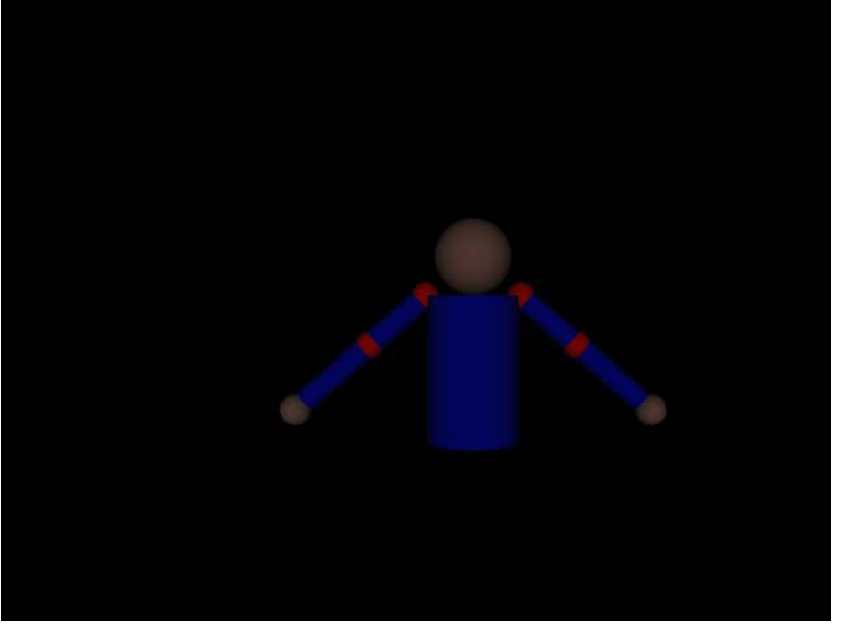


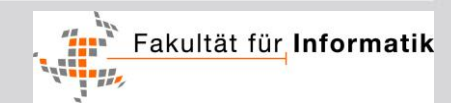
HMC mit Partikel Filter VIII



- System aus [Azad et al., 2008]
 - Stereokamerasystem mit 90 mm Augenabstand
 - Distanz Cue, spezielle Fusion, inverse Kinematik
 - Verarbeitungsrate von 40 Hz auf einem Core 2 Duo 3 GHz



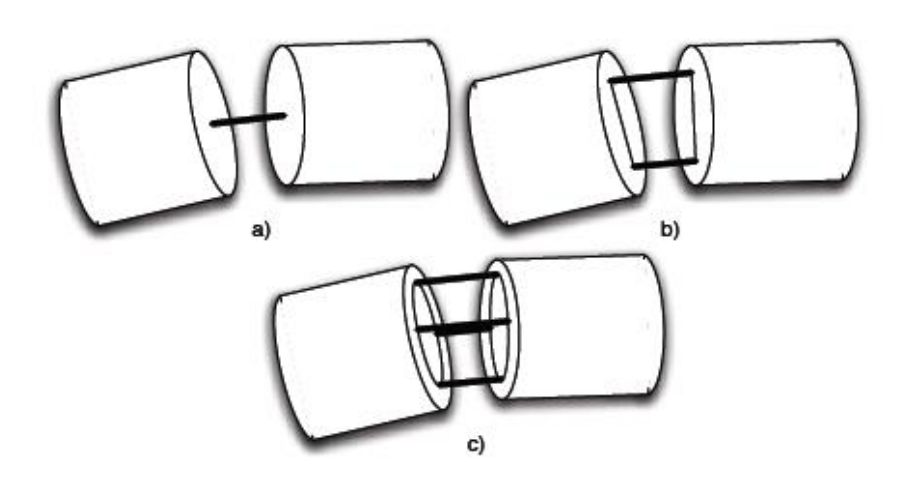




HMC mit ICP II



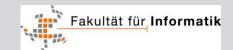
- [Knoop et al., 2006]
 - Als 3D-Sensor wird der Swiss Ranger verwendet
 - Gelenkwinkelbeziehungen werden über künstliche Punktkorrespondenzen einbezogen



- a) Universales Gelenk mit 3 DoF
- b) Scharniergelenk mit 2 eingeschränkten DoF
- c) Elliptisches Gelenk mit 3 eingeschränkten DoF



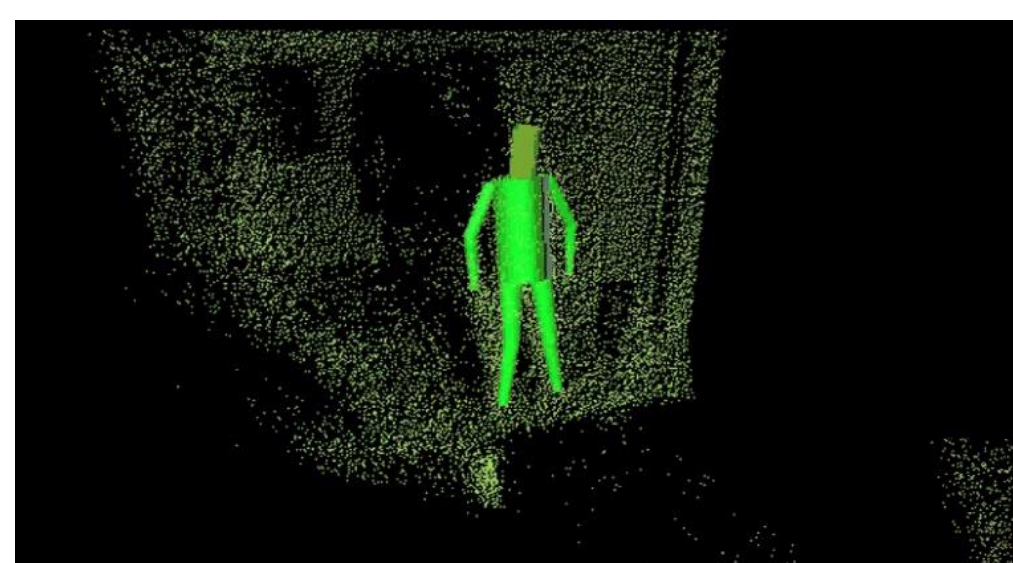
Swiss Ranger SR3000 [http://mesa-imaging.ch]



HMC mit ICP III



Beispielanwendung



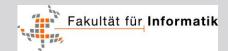




HMC mit ICP IV



- [Ogawara et al., 2007]
 - Dichte 3D-Punktwolken und -Netze durch Volumenschnittverfahren
 - Deformierbares Hautmodell
 - Zweistufiges Verfahren:
 - Hierarchische Registrierung jedes einzelnen Segments (erst Torso, dann Oberarme, usw.)
 - Berücksichtigung von Gelenkwinkelbeziehungen durch Optimierungsverfahren auf der Basis von 3D-3D Punktkorrespondenzen
 - Sehr rechenaufwändig Offline-Anwendung



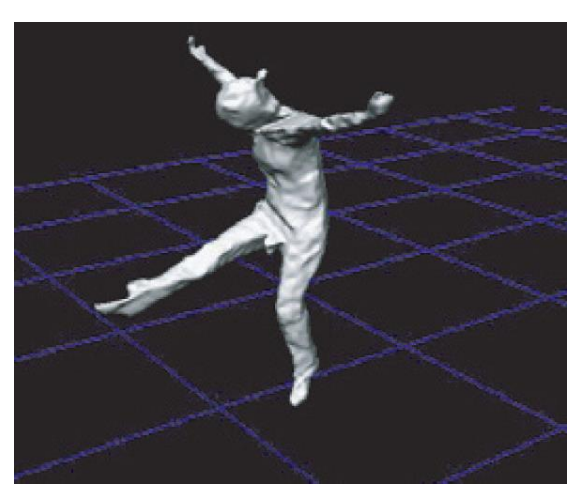
HMC mit ICP V



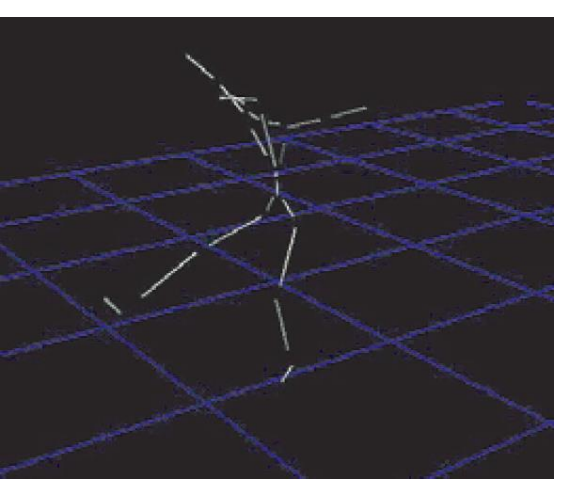
Beispielbilder aus [Ogawara et al., 2007]



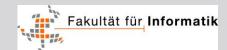
Eingabebild einer Kamera



Ergebnis des Volumenschnitts



Berechnete Lage der Körpersegmente





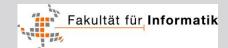
Gesichtserkennung

Gesichtserkennung



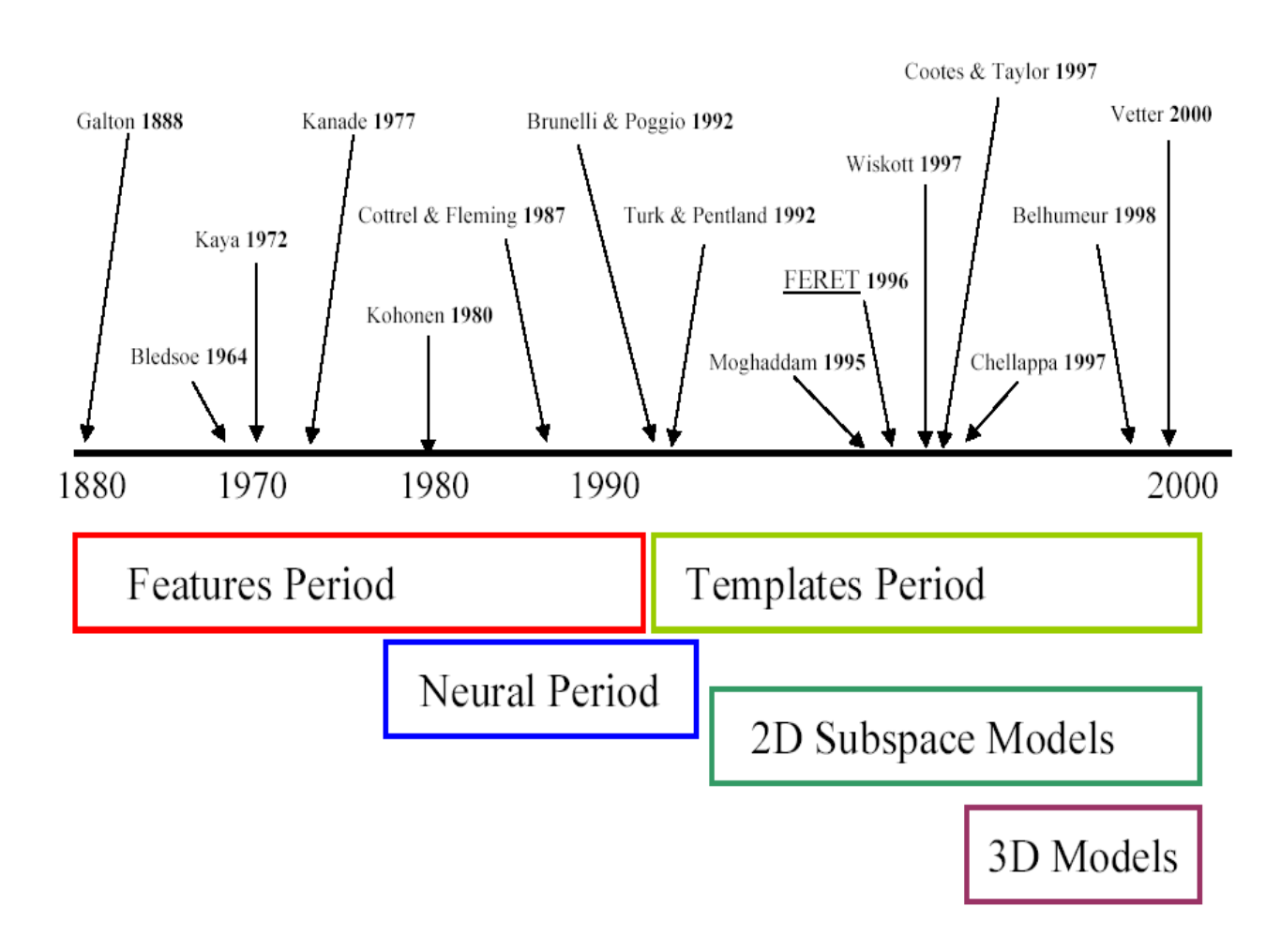
- Zu unterscheiden sind:
 - Gesichtsdetektion: Finden von Gesichtern (engl. face detection)
 (z.B. [Viola & Jones, 2001])
 - Identität der Person wird nicht bestimmt
- Im Folgenden: Gesichtserkennung = Identifikation von Gesichtern

(die nachfolgenden Folien wurden von Prof. Stiefelhagen und Dr. Ekenel zur Verfügung gestellt)



Historischer Überblick





Gesichtserkennung vs. Objekterkennung



 Erkennung grundlegend unterschiedlicher Objekte und Objektklassen







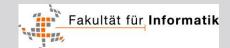






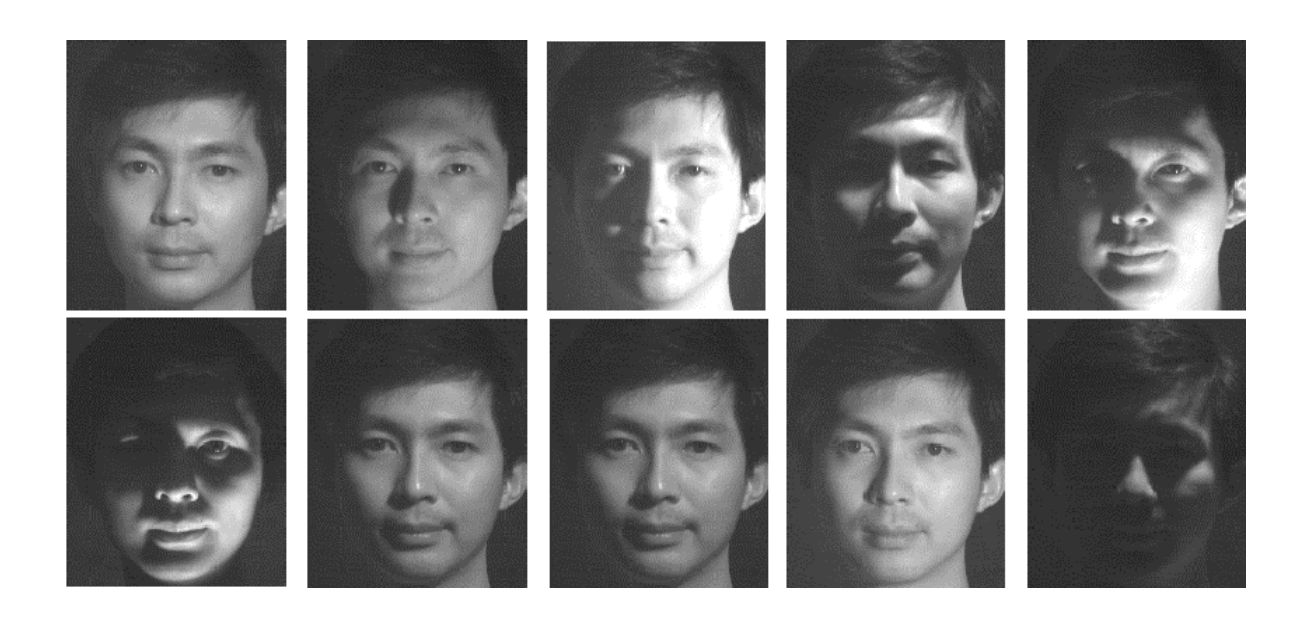
Erkennung verschiedener "Objekte" innerhalb einer Klasse "Gesichter"





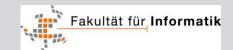
Hauptproblem





The variations between the images of the same face due to illumination and viewing direction are almost always larger than image variations due to change in face identity.

-- Moses, Adini, Ullman, ECCV'94



Ursachen für Variationen



- Sicht / Blickrichtung
- Beleuchtung
- Verdeckung
- Brille
- Bart
- Makeup
- Altersunterschied





















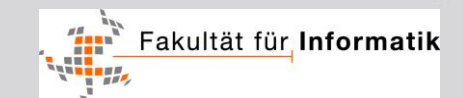




Traditionelle Ansätze

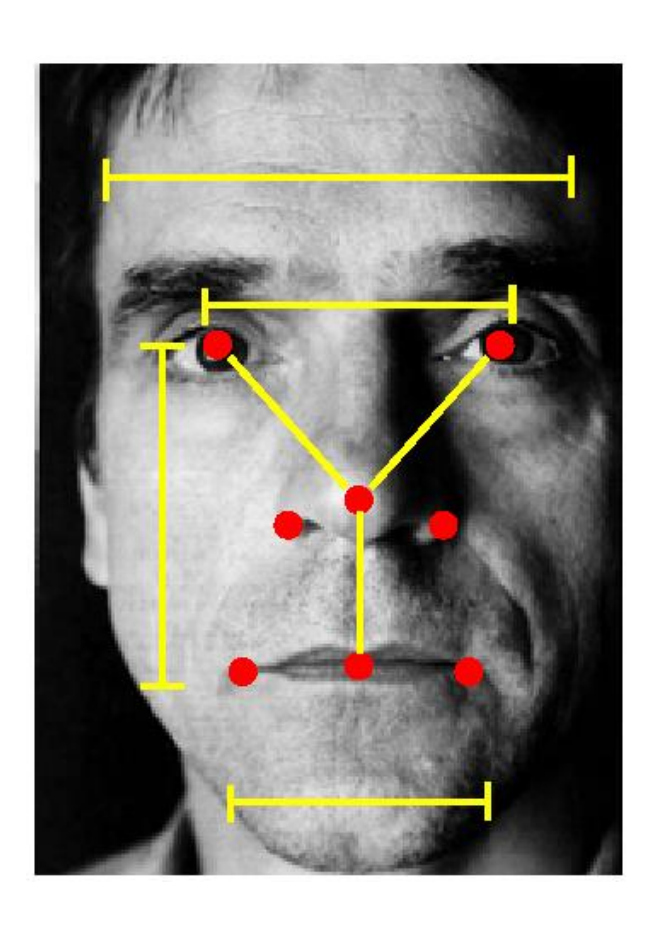


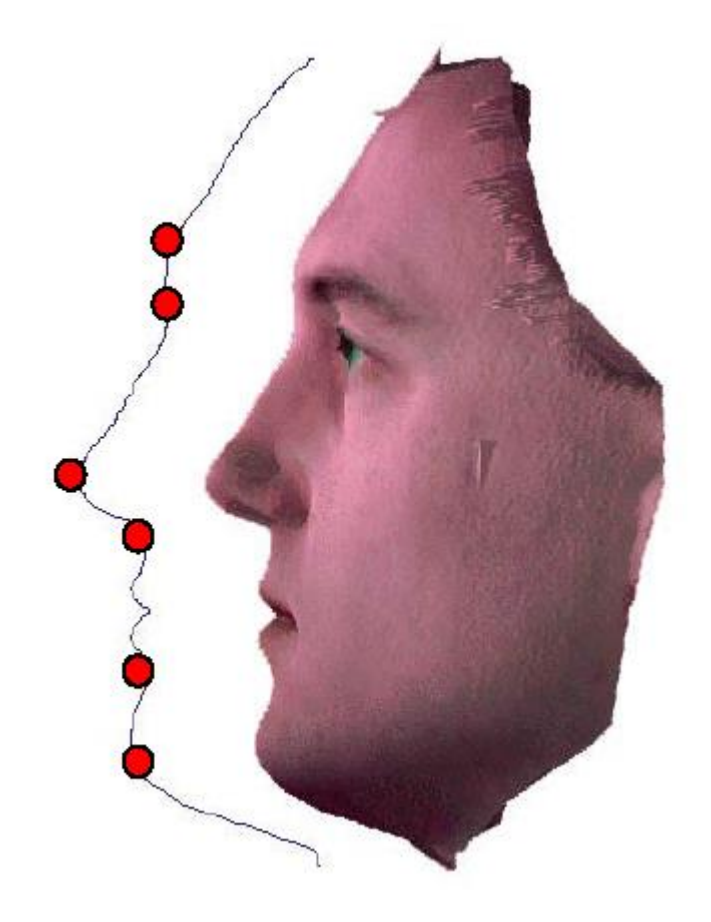
- Merkmalsbasiert
 - Markante Punkte (engl. fiducial points)
 - Abstände, Winkel, Flächen, etc.
 - Geometrische Merkmale
- Ansichtsbasiert
 - Holistisch (global)
 - Markante Regionen (lokal) (engl. fiducial regions)
 - Statistisch



Merkmale: Frontal & Profil



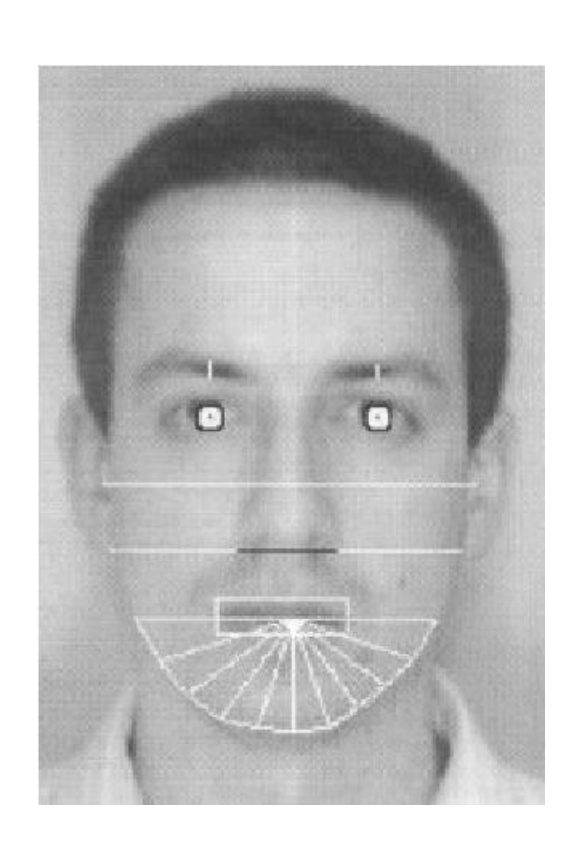




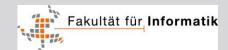
Merkmalsbasierte Gesichtserkennung



- Dicke der Augenbrauen und vertikale Position relativ zum Auge
- Bogen der Augenbrauen
- Vertikale Position und Breite der Nase
- Vertikale Position des Mundes
- Breite und Höhe der Lippen
- Feste Anzahl (11) von Radien, welche die Form des Kinns beschreiben
- Breite des Gesichts auf Höhe der Nase
- Breite des Gesichts auf der mittleren Höhe zwischen Augen und Nase



R. Brunelli, T. Poggio, "Face Recognition: Features versus Templates", *IEEE Trans. on PAMI*, Vol. 15, No. 10, pp. 1042-1052, Oct. 1993.



Klassifikation



Nächster Nachbar-Klassifikator mit der Mahalanobis-Distanz als Distanzmetrik:

$$\Delta_{j}(\mathbf{x}) = (\mathbf{x} - \mathbf{m}_{j})^{T} \Sigma^{-1} (\mathbf{x} - \mathbf{m}_{j})$$

x: Anfragebild (Gesicht)

 m_i : Durchschnittsvektor der j-ten Person.

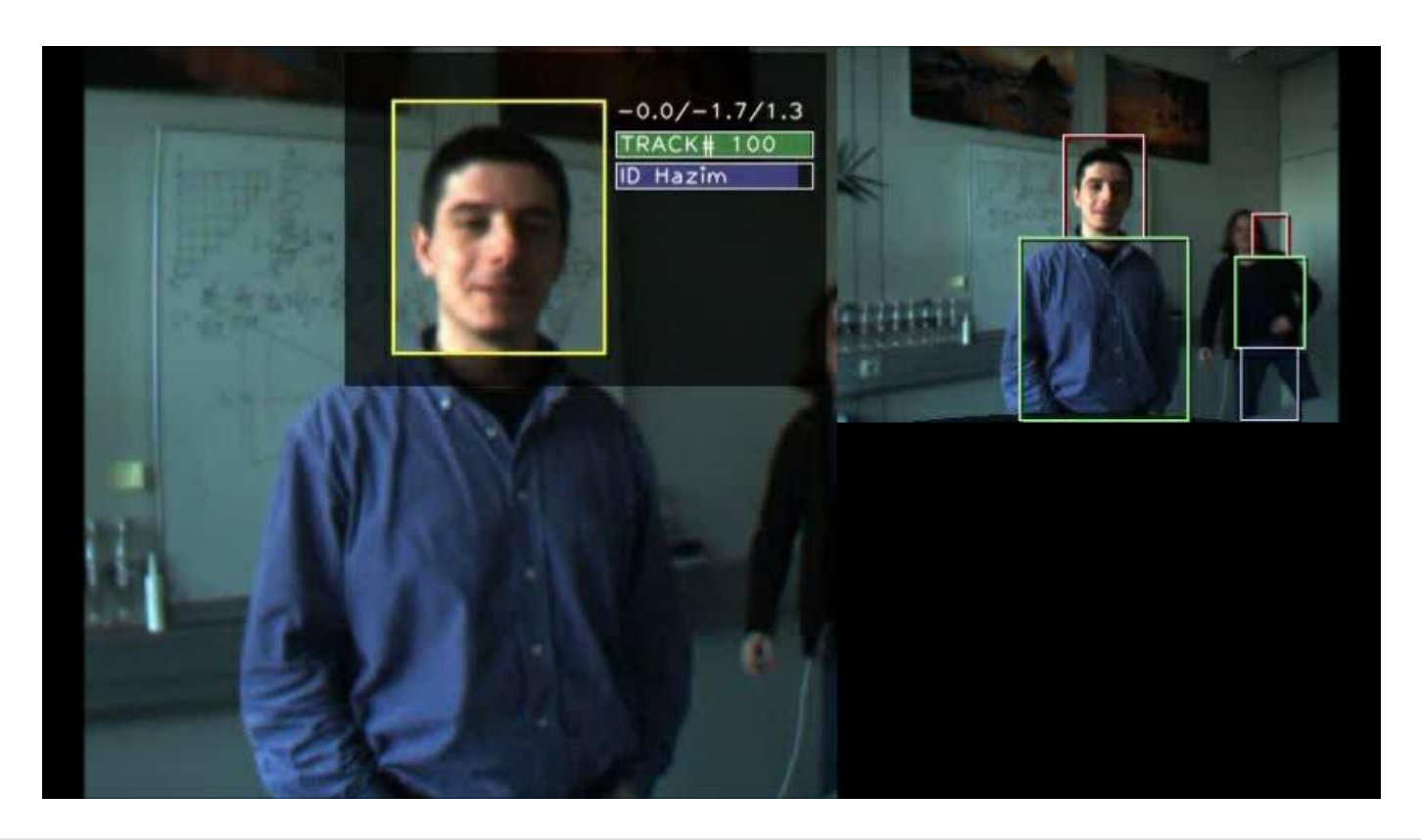
 \sum : Kovarianzmatrix

- Eine Person wird nur durch ihren durchschnittlichen Merkmalsvektor beschrieben
- Für jede Anfrage (Gesicht) werden die Merkmalsvektoren aller in der Datenbank abgespeicherten Personen überprüft

Beispielanwendung Gesichtserkennung



System von Hazim Ekenel und Kai Nickel (CV:HCI Prof. Stiefelhagen)







Nächste Vorlesung:

Mittwoch, 05. Juli 2017

